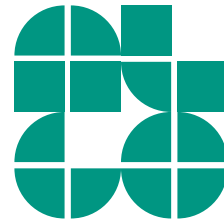


# Übung Algorithmische Kartografie

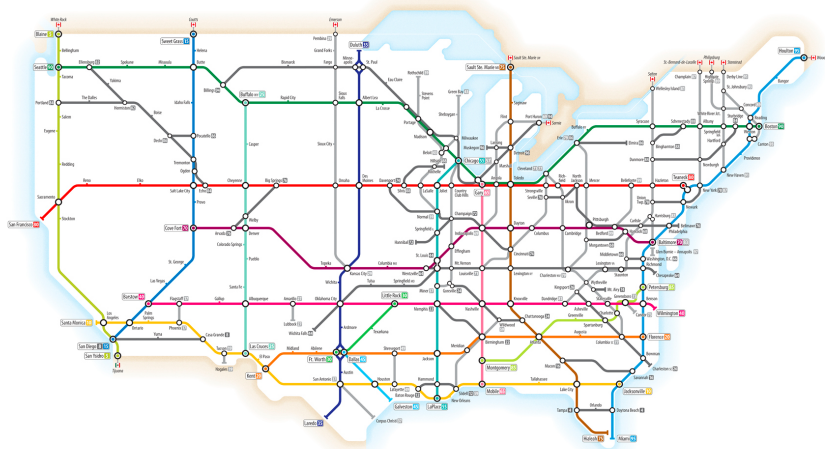
## Übungsblatt 2 & 3

LEHRSTUHL FÜR ALGORITHMIK I · INSTITUT FÜR THEORETISCHE INFORMATIK · FAKULTÄT FÜR INFORMATIK

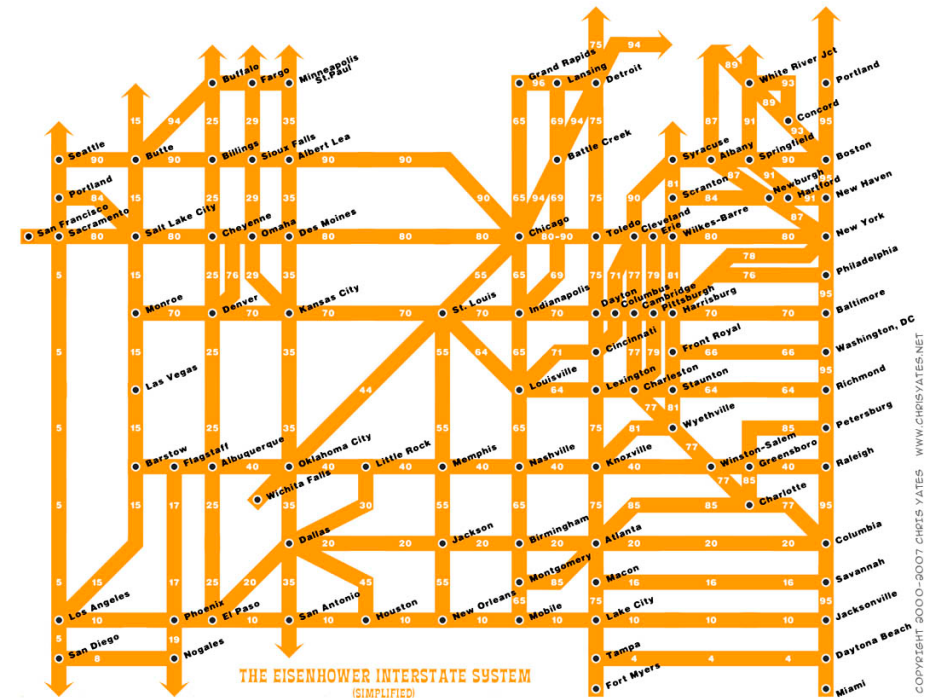
Benjamin Niedermann  
23.05.2013



# Übungsblatt 2 – Schematisierung von Karten



Interstate	Color	Route
1	Blue	San Francisco - Sacramento
5	Yellow	Los Angeles - San Diego
10	Red	San Antonio - Houston
15	Green	Portland - Seattle
20	Purple	Dallas - Jackson
25	Orange	Phoenix - El Paso
30	Light Blue	San Antonio - Houston
35	Light Green	Wichita Falls - Little Rock
40	Light Purple	Albuquerque - Oklahoma City
45	Light Orange	Albuquerque - Oklahoma City
50	Light Yellow	Albuquerque - Oklahoma City
55	Light Blue	Albuquerque - Oklahoma City
60	Light Green	Albuquerque - Oklahoma City
65	Light Purple	Albuquerque - Oklahoma City
70	Light Orange	Albuquerque - Oklahoma City
75	Light Yellow	Albuquerque - Oklahoma City
80	Light Blue	Albuquerque - Oklahoma City
85	Light Green	Albuquerque - Oklahoma City
90	Light Purple	Albuquerque - Oklahoma City
95	Light Orange	Albuquerque - Oklahoma City



## Anforderungen:

- sehr starke Vereinfachung/Abstraktion
- Erkennbarkeit erhalten
- Einschränkung der Kantenrichtungen

→ Zeichne eingebetteten Graphen mit festen Knotenpositionen

# Schematisierung

Hier bedeutet Schematisierung das Zeichnen von Graphen mit diskreten und oft uniformen

**Winkeleinschränkungen**

für die Kantenrichtungen/-steigungen.

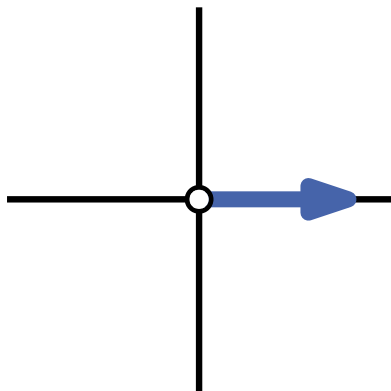
# Schematisierung

Hier bedeutet Schematisierung das Zeichnen von Graphen mit diskreten und oft uniformen

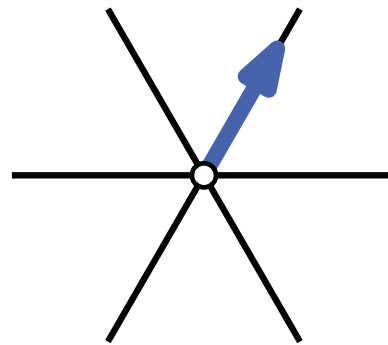
## Winkелеinschränkungen

für die Kantenrichtungen/-steigungen.

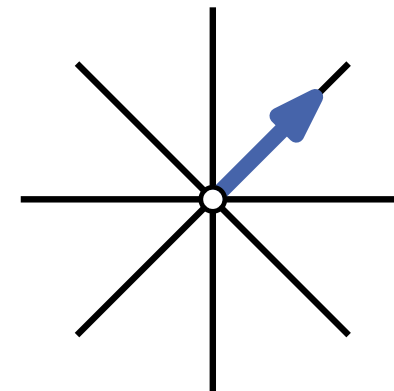
Beispiele:



rektilinear



hexilinear



oktilinear

...

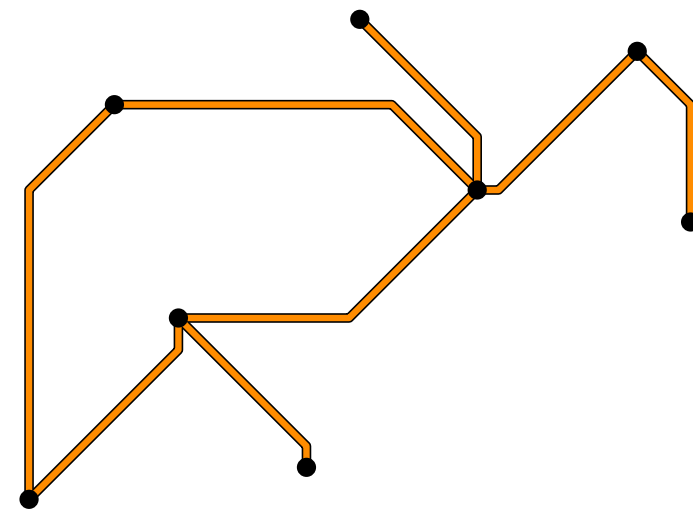
# Schematische Straßenkarten

**Geg:** Straßenkarte  $M = \{c_1, \dots, c_m\}$ , wobei jedes  $c_i$  einfacher Kantenzug ist und keine zwei  $c_i, c_j$  ( $i \neq j$ ) sich schneiden (außer an gemeinsamen Endknoten)

**Ges:** Topologisch äquivalente schematische Karte  $M' = \{c'_1, \dots, c'_m\}$  mit **gleichen Endpunkten** wie  $M$ , wobei jedes  $c'_i$  oktilinear ist und  $\leq 2$  Knicke hat  
→ verzerre Straßenform, aber nicht Kreuzungen und Orte



Eingabekarte  $M$

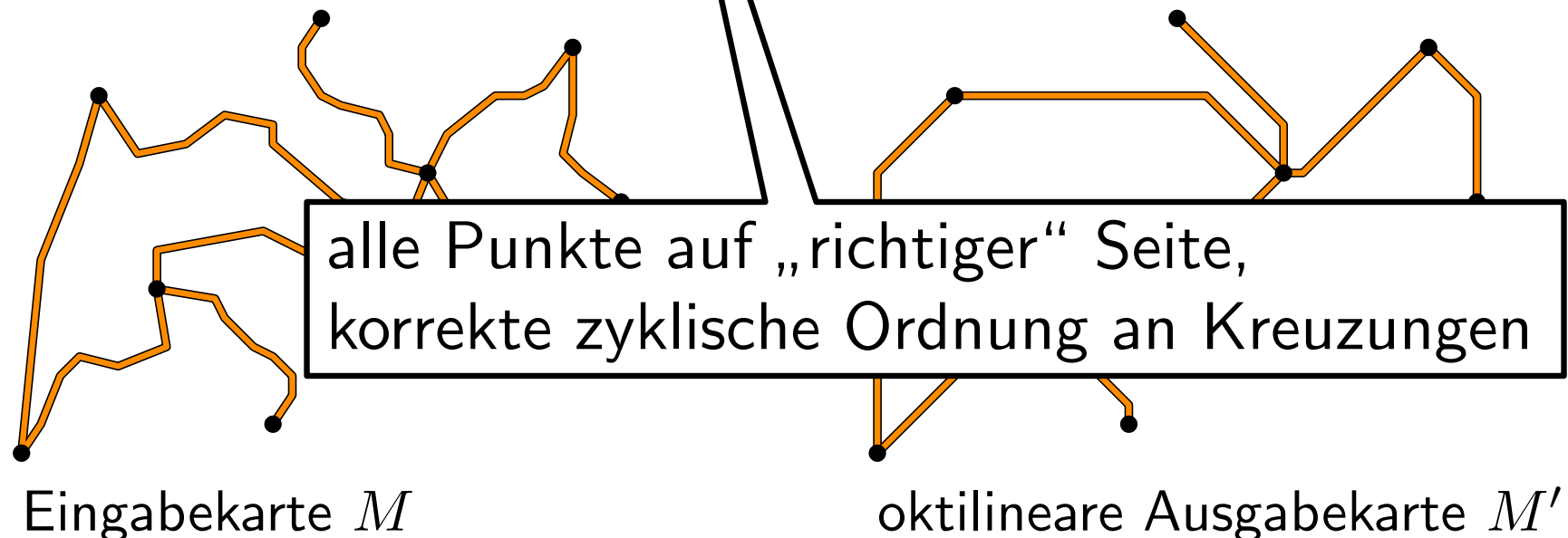


oktilineare Ausgabekarte  $M'$

# Schematische Straßenkarten

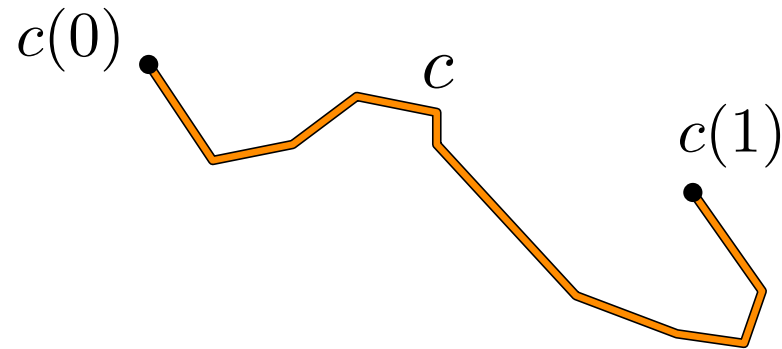
**Geg:** Straßenkarte  $M = \{c_1, \dots, c_m\}$ , wobei jedes  $c_i$  einfacher Kantenzug ist und keine zwei  $c_i, c_j$  ( $i \neq j$ ) sich schneiden (außer an gemeinsamen Endknoten)

**Ges:** Topologisch äquivalente schematische Karte  $M' = \{c'_1, \dots, c'_m\}$  mit **gleichen Endpunkten** wie  $M$ , wobei jedes  $c'_i$  oktilinear ist und  $\leq 2$  Knicke hat  
→ verzerre Straßenform, aber nicht Kreuzungen und Orte



# Notation

Betrachte Kantenzug/Pfad  $c$  als Abbildung  $c : [0, 1] \rightarrow \mathbb{R}^2$ ,  
wobei die Endpunkte jeweils  $c(0)$  und  $c(1)$  sind.



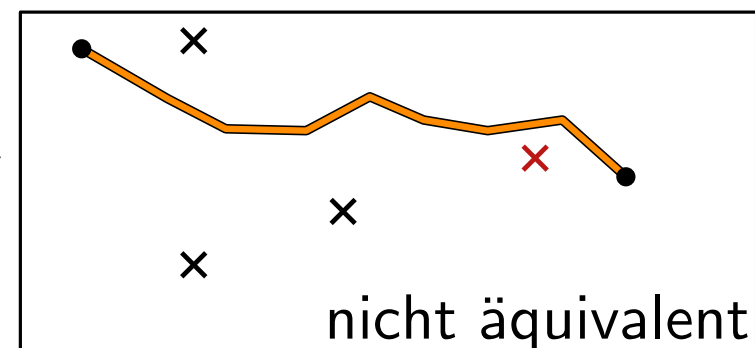
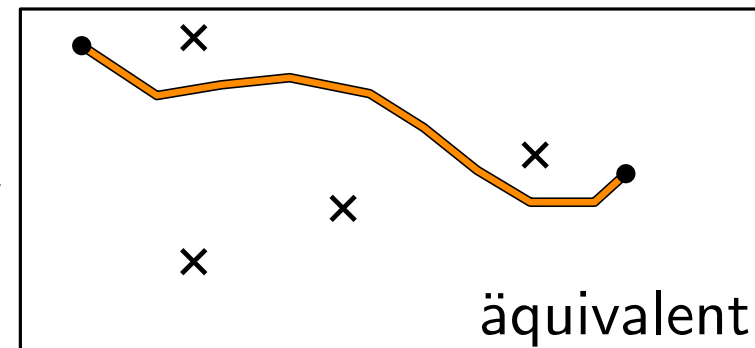
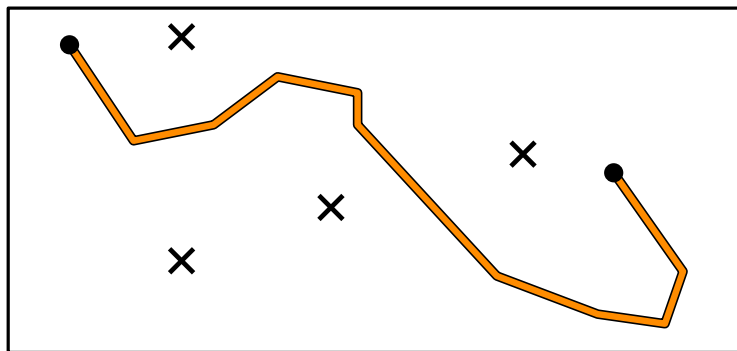
$P_M$ : Menge der Endpunkte von  $M$



# Äquivalente Karten

**Def:** Gegeben Menge von Hindernissen  $P$ . Zwei Pfade  $c, c'$  sind **äquivalent**, falls es eine stetige Abbildung  $F : [0, 1]^2 \rightarrow \mathbb{R}^2 \setminus P$  gibt, die  $c$  in  $c'$  transformiert, d.h.

- $F(0, t) = c_1(t)$  und  $F(1, t) = c_2(t)$  für alle  $t \in [0, 1]$ .
- $F(s, 0) = c_1(0) = c_2(0)$  und  $F(s, 1) = c_1(1) = c_2(1)$  für alle  $s \in [0, 1]$ .



# Äquivalente Karten

**Def:** Gegeben Menge von Hindernissen  $P$ . Zwei Pfade  $c, c'$  sind **äquivalent**, falls es eine stetige Abbildung  $F : [0, 1]^2 \rightarrow \mathbb{R}^2 \setminus P$  gibt, die  $c$  in  $c'$  transformiert, d.h.

- $F(0, t) = c_1(t)$  und  $F(1, t) = c_2(t)$  für alle  $t \in [0, 1]$ .
- $F(s, 0) = c_1(0) = c_2(0)$  und  $F(s, 1) = c_1(1) = c_2(1)$  für alle  $s \in [0, 1]$ .

**Aufgabe 3.2:** Zeigen Sie, dass die Relation *die Kurve  $c_i$  ist äquivalent zur Kurve  $c_k$*  tatsächlich eine Äquivalenzrelation ist.

# Äquivalente Karten

**Def:** Gegeben Menge von Hindernissen  $P$ . Zwei Pfade  $c, c'$  sind **äquivalent**, falls es eine stetige Abbildung  $F : [0, 1]^2 \rightarrow \mathbb{R}^2 \setminus P$  gibt, die  $c$  in  $c'$  transformiert, d.h.

- $F(0, t) = c_1(t)$  und  $F(1, t) = c_2(t)$  für alle  $t \in [0, 1]$ .
- $F(s, 0) = c_1(0) = c_2(0)$  und  $F(s, 1) = c_1(1) = c_2(1)$  für alle  $s \in [0, 1]$ .

**Reflexiv:** Für alle  $s, t \in [0, 1]$  setze  $F(s, t) = c_1(t)$ .

# Äquivalente Karten

**Def:** Gegeben Menge von Hindernissen  $P$ . Zwei Pfade  $c, c'$  sind **äquivalent**, falls es eine stetige Abbildung  $F : [0, 1]^2 \rightarrow \mathbb{R}^2 \setminus P$  gibt, die  $c$  in  $c'$  transformiert, d.h.

- $F(0, t) = c_1(t)$  und  $F(1, t) = c_2(t)$  für alle  $t \in [0, 1]$ .
- $F(s, 0) = c_1(0) = c_2(0)$  und  $F(s, 1) = c_1(1) = c_2(1)$  für alle  $s \in [0, 1]$ .

## Symmetrisch:

- Gegeben kontinuierliche Funktion  $G$  die  $c_1$  in  $c_2$  transformiert.
- Für alle  $s, t \in [0, 1]$  setze  $F(s, t) = G(1 - s, t)$ .

Offensichtlich:  $F$  ist gesuchte Funktion.

# Äquivalente Karten

**Def:** Gegeben Menge von Hindernissen  $P$ . Zwei Pfade  $c, c'$  sind **äquivalent**, falls es eine stetige Abbildung  $F : [0, 1]^2 \rightarrow \mathbb{R}^2 \setminus P$  gibt, die  $c$  in  $c'$  transformiert, d.h.

- $F(0, t) = c_1(t)$  und  $F(1, t) = c_2(t)$  für alle  $t \in [0, 1]$ .
- $F(s, 0) = c_1(0) = c_2(0)$  und  $F(s, 1) = c_1(1) = c_2(1)$  für alle  $s \in [0, 1]$ .

## Transitiv:

- Gegeben kontinuierliche Funktion  $F_1$ , die  $c_1$  in  $c_2$  transformiert und Funktion  $F_2$ , die  $c_2$  in  $c_3$  transformiert.
- $F_2 \circ F_1$  transformiert die Kurve  $c_1$  in die Kurve  $c_3$

Da  $F_1$  und  $F_2$  bezüglich  $\mathbb{R}^2 \setminus P$  kontinuierlich sind, muss auch  $F_2 \circ F_1$  bezüglich  $\mathbb{R}^2 \setminus P$  kontinuierlich sein.

# Äquivalente Karten

**Def:** Gegeben Menge von Hindernissen  $P$ . Zwei Pfade  $c, c'$  sind **äquivalent**, falls es eine stetige Abbildung  $F : [0, 1]^2 \rightarrow \mathbb{R}^2 \setminus P$  gibt, die  $c$  in  $c'$  transformiert, d.h.

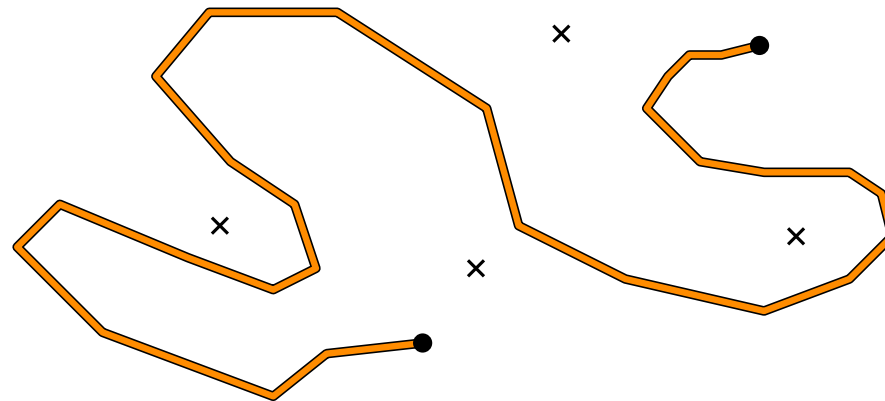
- $F(0, t) = c_1(t)$  und  $F(1, t) = c_2(t)$  für alle  $t \in [0, 1]$ .
- $F(s, 0) = c_1(0) = c_2(0)$  und  $F(s, 1) = c_1(1) = c_2(1)$  für alle  $s \in [0, 1]$ .

**Def:** Zwei Karten  $M$  und  $M'$  sind **äquivalent**, falls alle  $c_i \in M$  und  $c'_i \in M'$  äquivalent in  $(\mathbb{R}^2 \setminus P_m) \cup \{c_i(0), c_i(1)\}$  sind

# Vertikale Pfadordnung

**Def:** Für Pfad  $a$  und Punkt  $p$  liegt  $p$  **oberhalb/unterhalb** von  $a$ , falls für **jeden** zu  $a$  äquivalenten Pfad  $a'$  in  $\mathbb{R}^2 \setminus \{p\}$  der entsprechende vertikale Strahl von  $p$  Pfad  $a'$  schneidet.

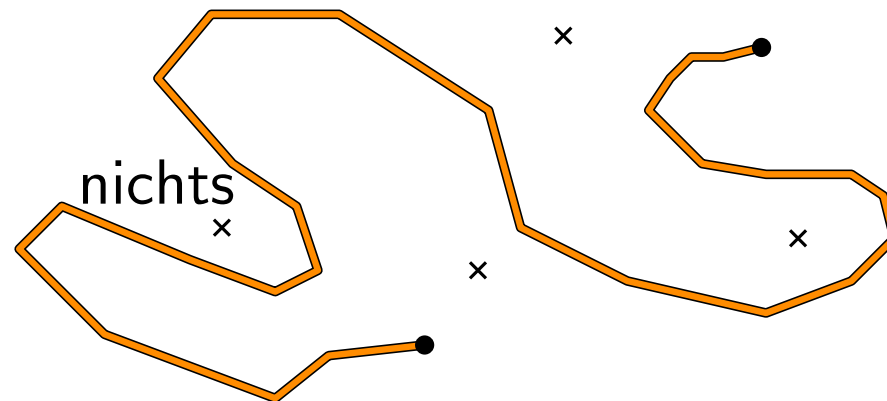
Die Ordnung zweier Pfade  $a, b$  ist definiert durch die Lage der Endpunkte des einen Pfades zum anderen Pfad.



# Vertikale Pfadordnung

**Def:** Für Pfad  $a$  und Punkt  $p$  liegt  $p$  **oberhalb/unterhalb** von  $a$ , falls für **jeden** zu  $a$  äquivalenten Pfad  $a'$  in  $\mathbb{R}^2 \setminus \{p\}$  der entsprechende vertikale Strahl von  $p$  Pfad  $a'$  schneidet.

Die Ordnung zweier Pfade  $a, b$  ist definiert durch die Lage der Endpunkte des einen Pfades zum anderen Pfad.

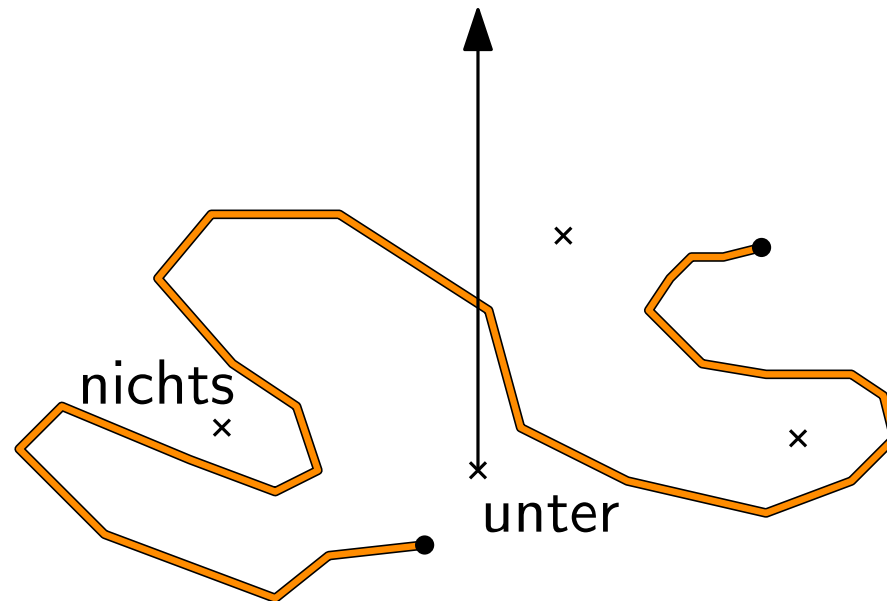




# Vertikale Pfadordnung

**Def:** Für Pfad  $a$  und Punkt  $p$  liegt  $p$  **oberhalb/unterhalb** von  $a$ , falls für **jeden** zu  $a$  äquivalenten Pfad  $a'$  in  $\mathbb{R}^2 \setminus \{p\}$  der entsprechende vertikale Strahl von  $p$  Pfad  $a'$  schneidet.

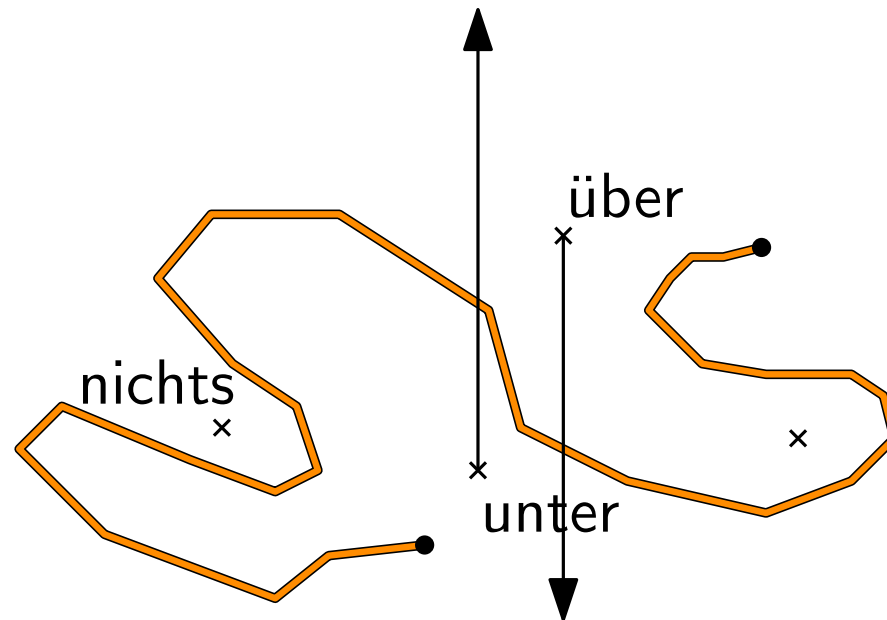
Die Ordnung zweier Pfade  $a, b$  ist definiert durch die Lage der Endpunkte des einen Pfades zum anderen Pfad.



# Vertikale Pfadordnung

**Def:** Für Pfad  $a$  und Punkt  $p$  liegt  $p$  **oberhalb/unterhalb** von  $a$ , falls für **jeden** zu  $a$  äquivalenten Pfad  $a'$  in  $\mathbb{R}^2 \setminus \{p\}$  der entsprechende vertikale Strahl von  $p$  Pfad  $a'$  schneidet.

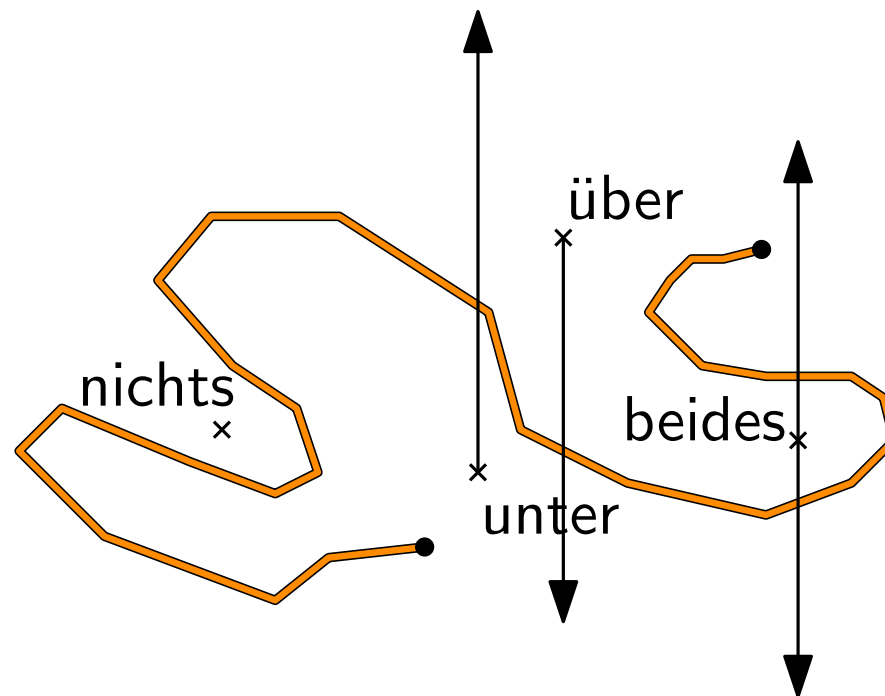
Die Ordnung zweier Pfade  $a, b$  ist definiert durch die Lage der Endpunkte des einen Pfades zum anderen Pfad.



# Vertikale Pfadordnung

**Def:** Für Pfad  $a$  und Punkt  $p$  liegt  $p$  **oberhalb/unterhalb** von  $a$ , falls für **jeden** zu  $a$  äquivalenten Pfad  $a'$  in  $\mathbb{R}^2 \setminus \{p\}$  der entsprechende vertikale Strahl von  $p$  Pfad  $a'$  schneidet.

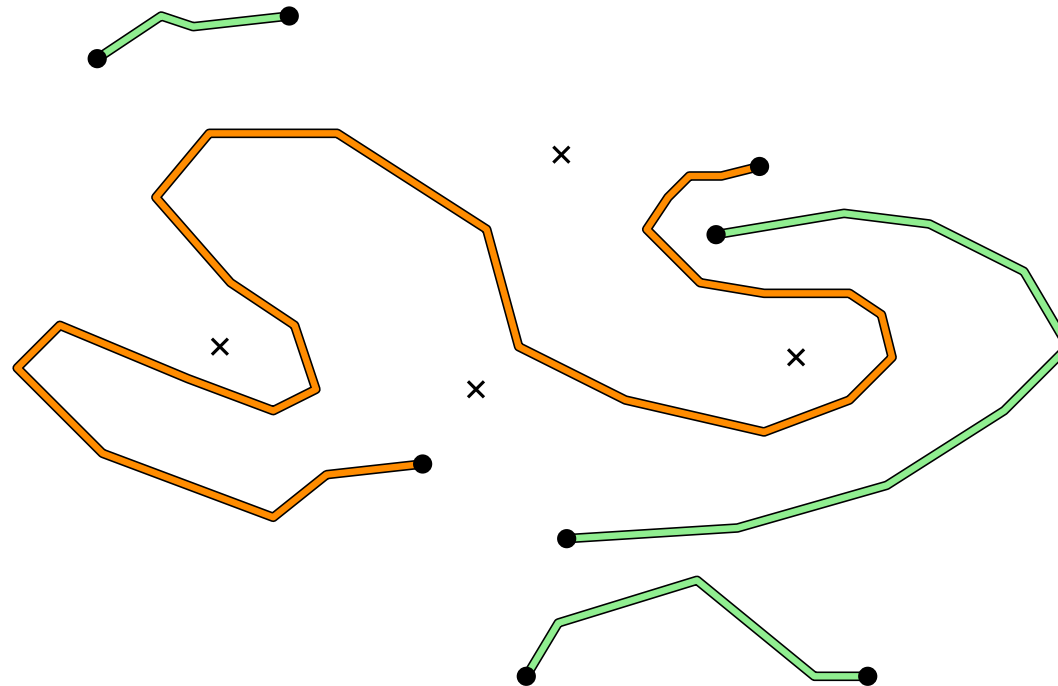
Die Ordnung zweier Pfade  $a, b$  ist definiert durch die Lage der Endpunkte des einen Pfades zum anderen Pfad.



# Vertikale Pfadordnung

**Def:** Für Pfad  $a$  und Punkt  $p$  liegt  $p$  **oberhalb/unterhalb** von  $a$ , falls für **jeden** zu  $a$  äquivalenten Pfad  $a'$  in  $\mathbb{R}^2 \setminus \{p\}$  der entsprechende vertikale Strahl von  $p$  Pfad  $a'$  schneidet.

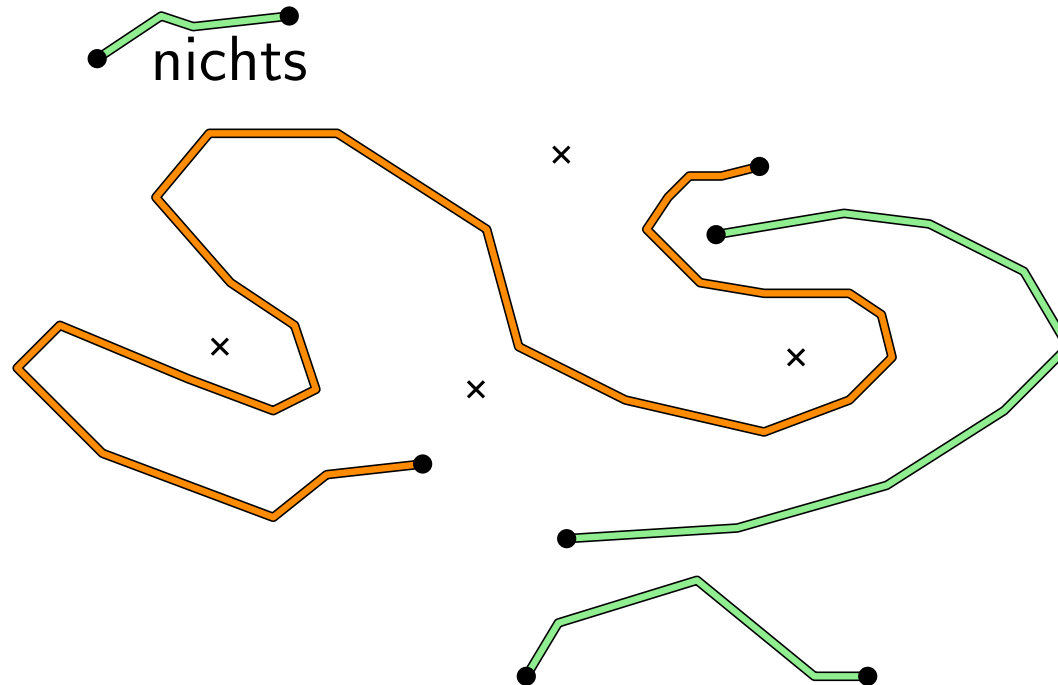
Die Ordnung zweier Pfade  $a, b$  ist definiert durch die Lage der Endpunkte des einen Pfades zum anderen Pfad.



# Vertikale Pfadordnung

**Def:** Für Pfad  $a$  und Punkt  $p$  liegt  $p$  **oberhalb/unterhalb** von  $a$ , falls für **jeden** zu  $a$  äquivalenten Pfad  $a'$  in  $\mathbb{R}^2 \setminus \{p\}$  der entsprechende vertikale Strahl von  $p$  Pfad  $a'$  schneidet.

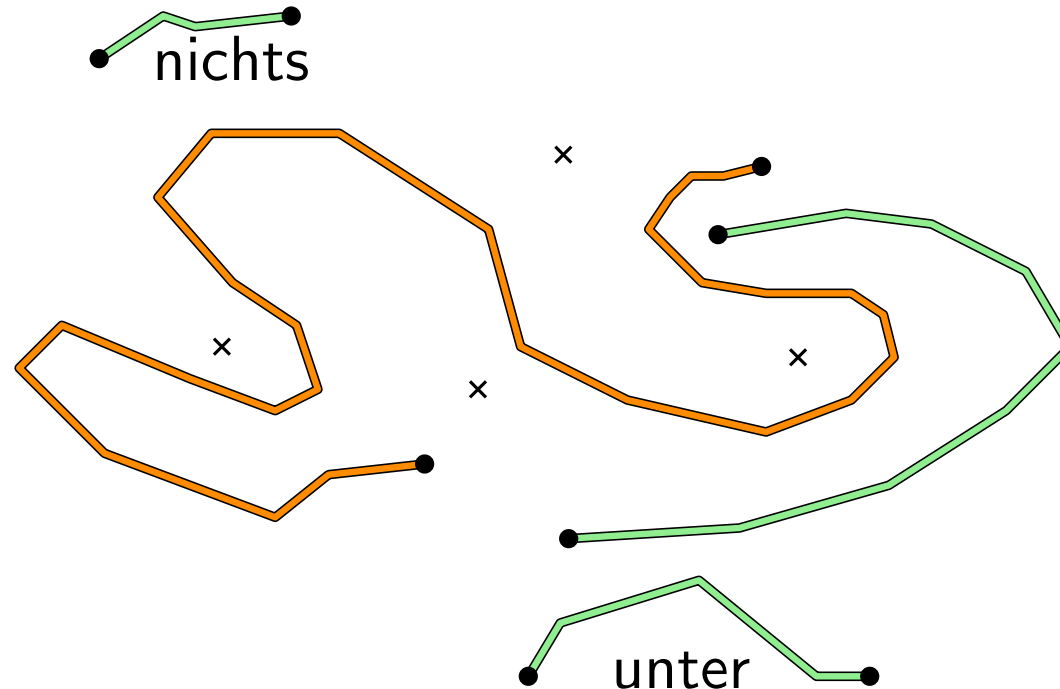
Die Ordnung zweier Pfade  $a, b$  ist definiert durch die Lage der Endpunkte des einen Pfades zum anderen Pfad.



# Vertikale Pfadordnung

**Def:** Für Pfad  $a$  und Punkt  $p$  liegt  $p$  **oberhalb/unterhalb** von  $a$ , falls für **jeden** zu  $a$  äquivalenten Pfad  $a'$  in  $\mathbb{R}^2 \setminus \{p\}$  der entsprechende vertikale Strahl von  $p$  Pfad  $a'$  schneidet.

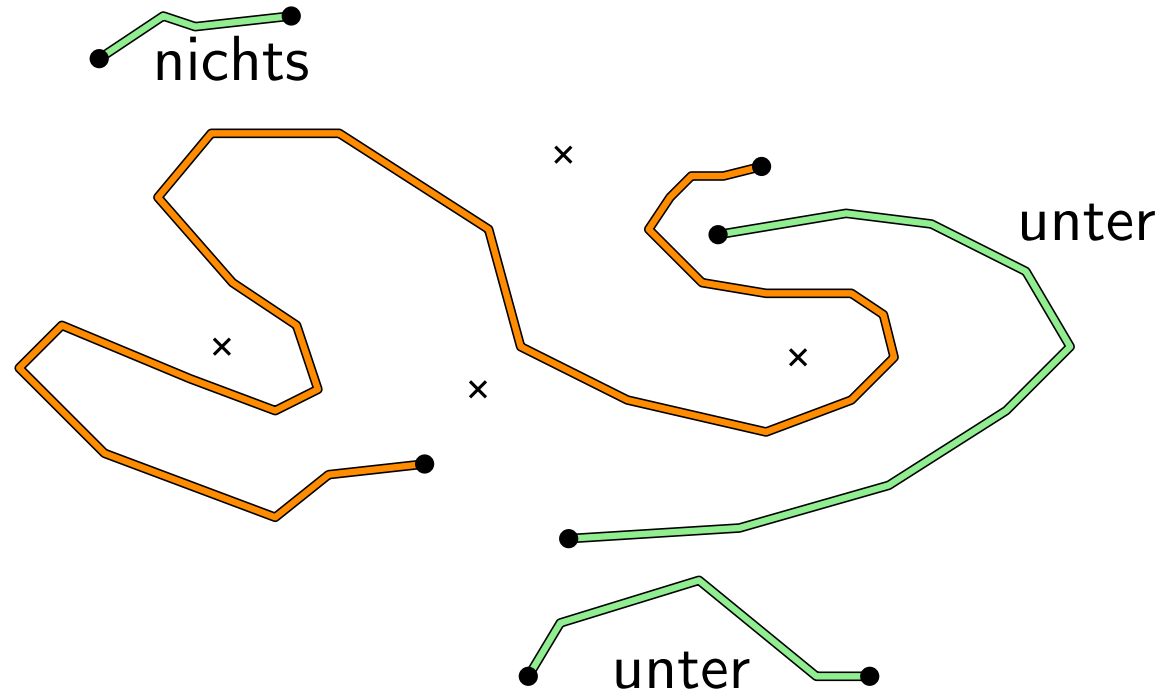
Die Ordnung zweier Pfade  $a, b$  ist definiert durch die Lage der Endpunkte des einen Pfades zum anderen Pfad.



# Vertikale Pfadordnung

**Def:** Für Pfad  $a$  und Punkt  $p$  liegt  $p$  **oberhalb/unterhalb** von  $a$ , falls für **jeden** zu  $a$  äquivalenten Pfad  $a'$  in  $\mathbb{R}^2 \setminus \{p\}$  der entsprechende vertikale Strahl von  $p$  Pfad  $a'$  schneidet.

Die Ordnung zweier Pfade  $a, b$  ist definiert durch die Lage der Endpunkte des einen Pfades zum anderen Pfad.

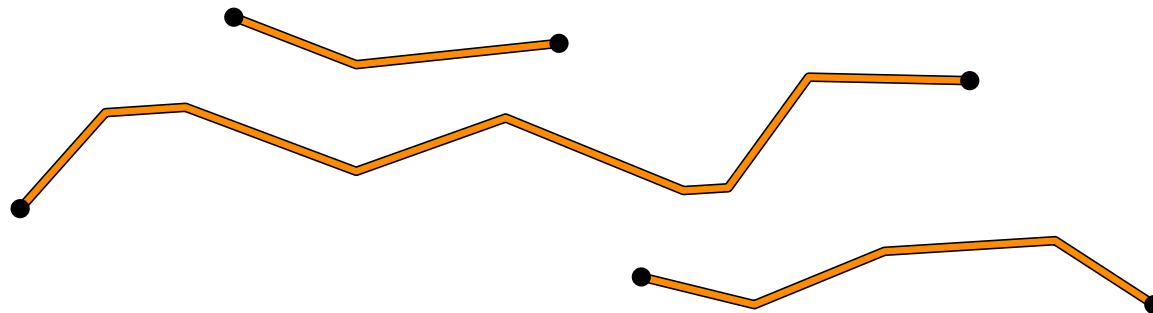


# Vertikale Pfadordnung

**Def:** Für Pfad  $a$  und Punkt  $p$  liegt  $p$  **oberhalb/unterhalb** von  $a$ , falls für **jeden** zu  $a$  äquivalenten Pfad  $a'$  in  $\mathbb{R}^2 \setminus \{p\}$  der entsprechende vertikale Strahl von  $p$  Pfad  $a'$  schneidet.

Die Ordnung zweier Pfade  $a, b$  ist definiert durch die Lage der Endpunkte des einen Pfades zum anderen Pfad.

**Bem:** Für  $x$ -monotone Pfade ist die Definition äquivalent zur Definition  $a$  **oberhalb**  $b$  ( $a \succ b$ ) gdw. es Punkte  $(x, y_a) \in a$  und  $(x, y_b) \in b$  gibt mit  $y_a > y_b$ .





# Ordnung in monotonen Karten

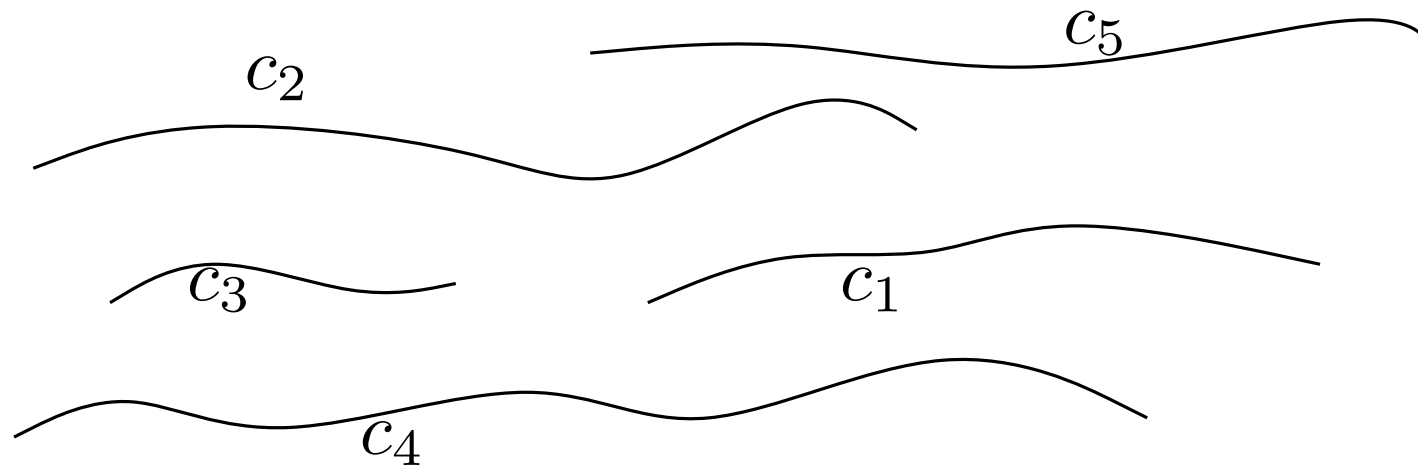
Karte  $M$  ist **monoton**, falls jeder Pfad in  $M$   $x$ -monoton ist.

**Lemma 1:** Für monotone Karte  $M$  ist die Vertikalordnung  $\succ$  azyklisch; eine Totalordnung, die  $\succ$  erweitert, kann in  $O(n \log n)$  Zeit bestimmt werden, wobei  $n$  die Knotenzahl in  $M$  ist.

## Beweis:

1.  $\succ$  ist azyklisch: siehe Tafel.
2.  $\succ$  kann in  $O(n \log n)$  zu Totalordnung erweitert werden.

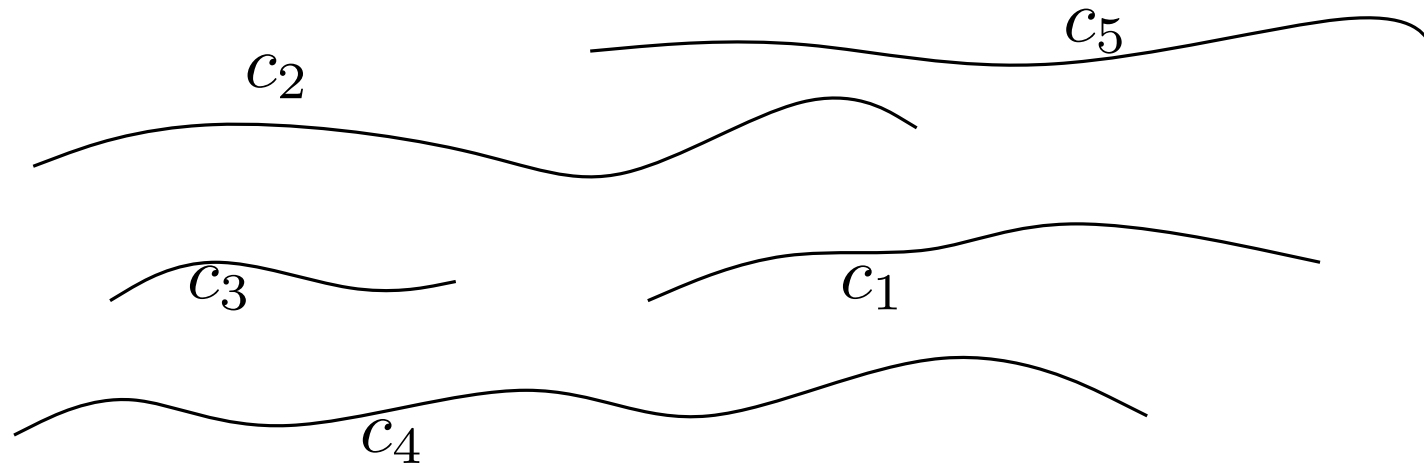
# Erweiterung zur totalen Ordnung



# Erweiterung zur totalen Ordnung

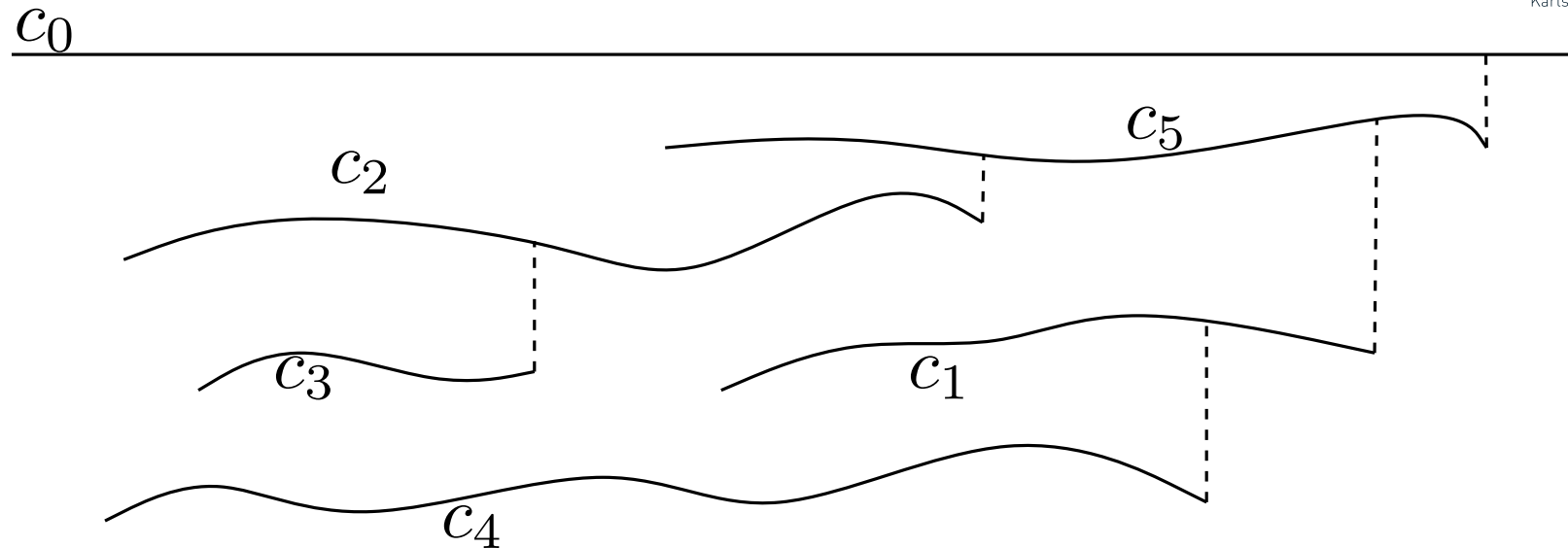
$c_0$

---



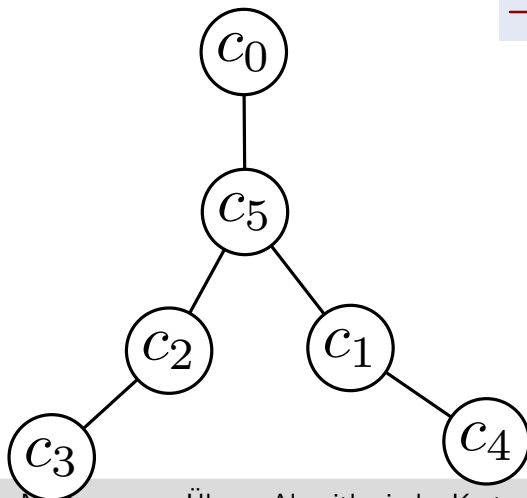
1. Füge Stecke mit Endpunkten  $(-\infty, \infty)$  und  $(\infty, \infty)$  ein.

# Erweiterung zur totalen Ordnung

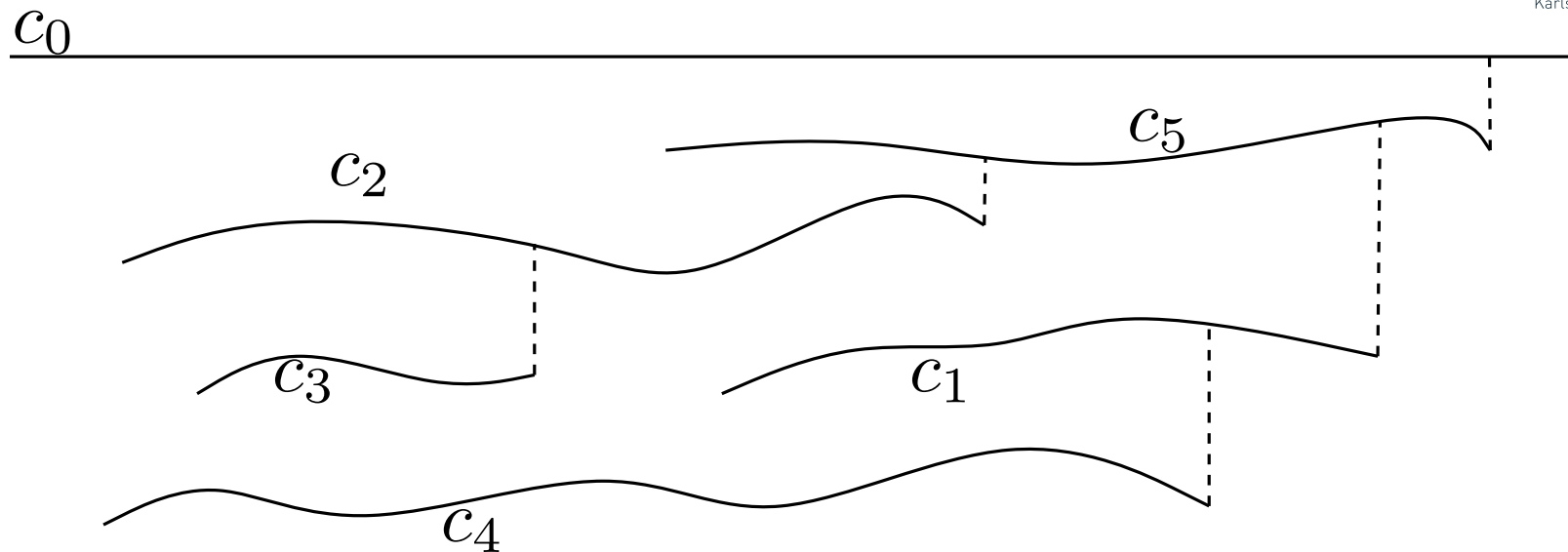


1. Füge Stecke mit Endpunkten  $(-\infty, \infty)$  und  $(\infty, \infty)$  ein.
2. Erstelle Baum  $T$  mit Knoten  $c_0, \dots, c_n$ .

$c_i$  ist Kind von  $c_j$  gdw.  $c_j$  liegt direkt über rechtem Endpunkt von  $c_i$ .  
+ halte horizontale Ordnung der Eckpunkte ein.

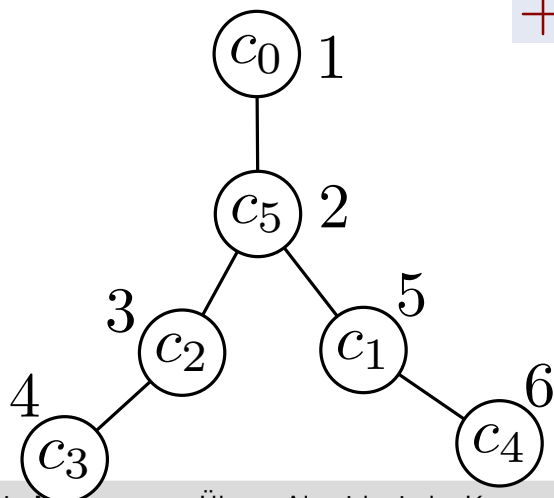


# Erweiterung zur totalen Ordnung



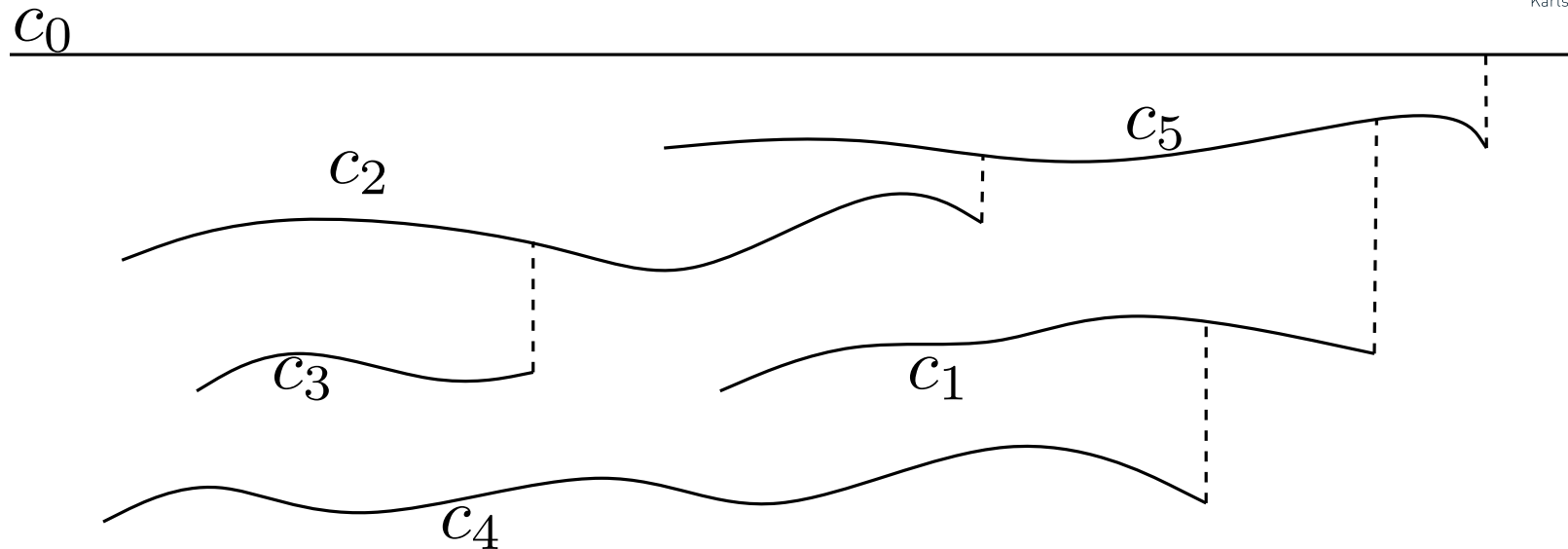
1. Füge Stecke mit Endpunkten  $(-\infty, \infty)$  und  $(\infty, \infty)$  ein.
2. Erstelle Baum  $T$  mit Knoten  $c_0, \dots, c_n$ .

$c_i$  ist Kind von  $c_j$  gdw.  $c_j$  liegt direkt über rechtem Endpunkt von  $c_i$ .  
+ halte horizontale Ordnung der Eckpunkte ein.



3. Traversiere Baum *inorder* und sortiere Knoten nach erstem Auftreten.

# Erweiterung zur totalen Ordnung

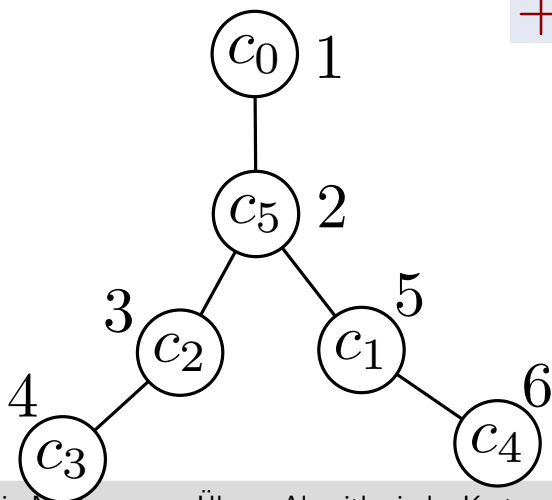


1. Füge Stecke mit Endpunkten  $(-\infty, \infty)$  und  $(\infty, \infty)$  ein.
2. Erstelle Baum  $T$  mit Knoten  $c_0, \dots, c_n$ .

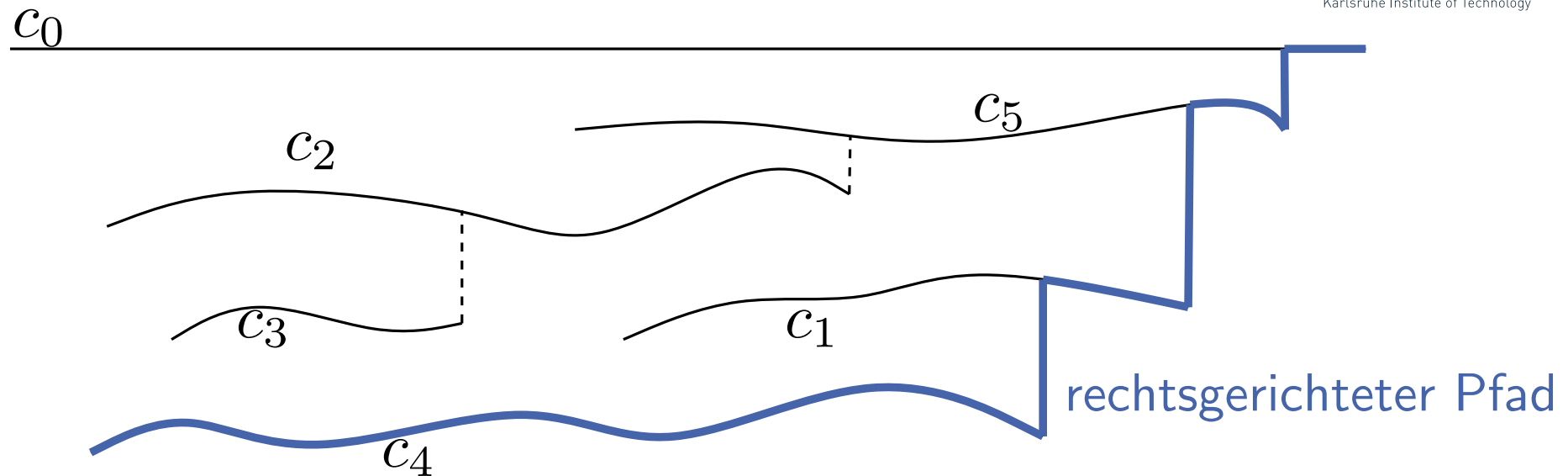
$c_i$  ist Kind von  $c_j$  gdw.  $c_j$  liegt direkt über rechtem Endpunkt von  $c_i$ .  
+ halte horizontale Ordnung der Eckpunkte ein.

3. Traversiere Baum *inorder* und sortiere Knoten nach erstem Auftreten.

Warum bleibt  $\succ$  erhalten?



# Erweiterung zur totalen Ordnung

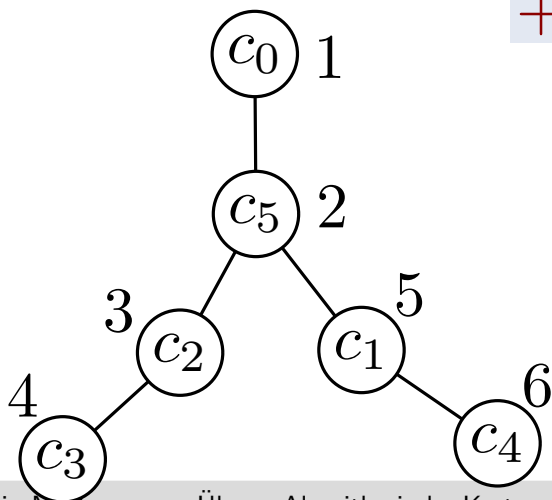


1. Füge Stecke mit Endpunkten  $(-\infty, \infty)$  und  $(\infty, \infty)$  ein.
2. Erstelle Baum  $T$  mit Knoten  $c_0, \dots, c_n$ .

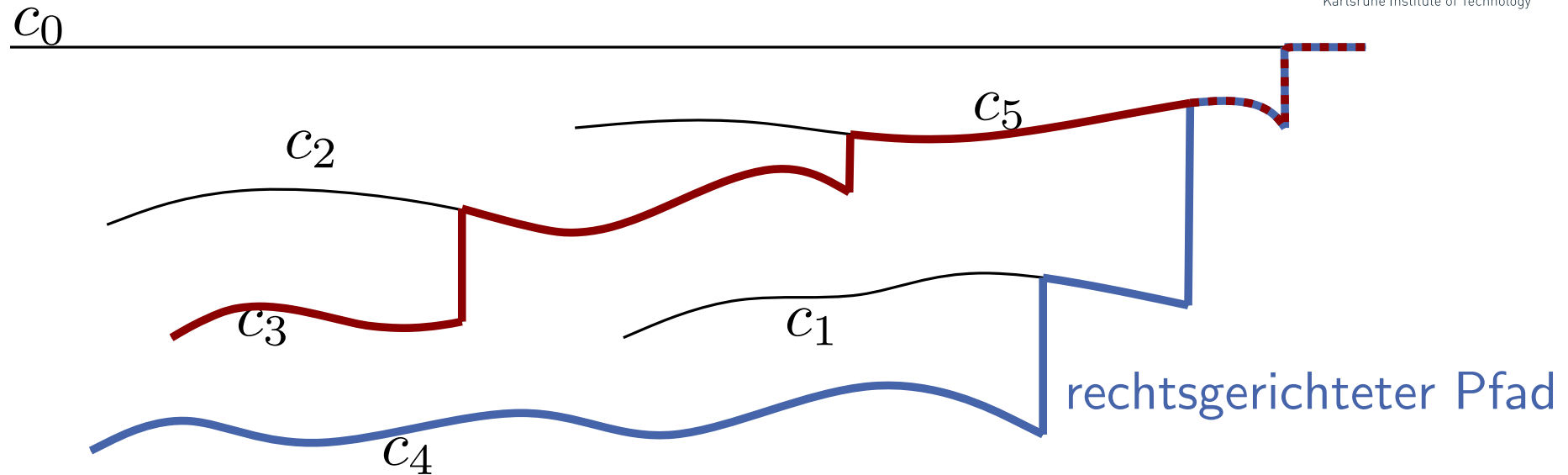
$c_i$  ist Kind von  $c_j$  gdw.  $c_j$  liegt direkt über rechtem Endpunkt von  $c_i$ .  
+ halte horizontale Ordnung der Eckpunkte ein.

3. Traversiere Baum *inorder* und sortiere Knoten nach erstem Auftreten.

Warum bleibt  $\succ$  erhalten?



# Erweiterung zur totalen Ordnung

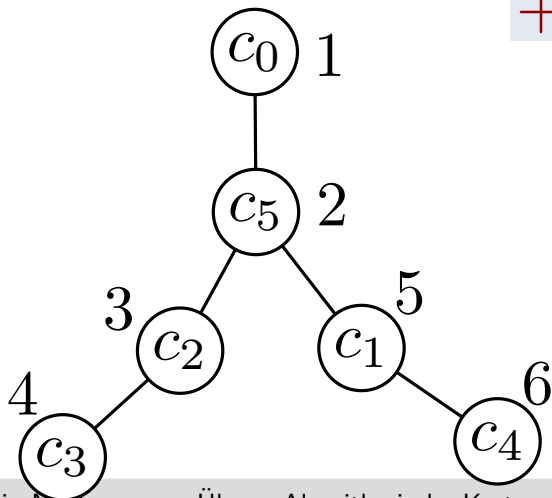


1. Füge Stecke mit Endpunkten  $(-\infty, \infty)$  und  $(\infty, \infty)$  ein.
2. Erstelle Baum  $T$  mit Knoten  $c_0, \dots, c_n$ .

$c_i$  ist Kind von  $c_j$  gdw.  $c_j$  liegt direkt über rechtem Endpunkt von  $c_i$ .  
+ halte horizontale Ordnung der Eckpunkte ein.

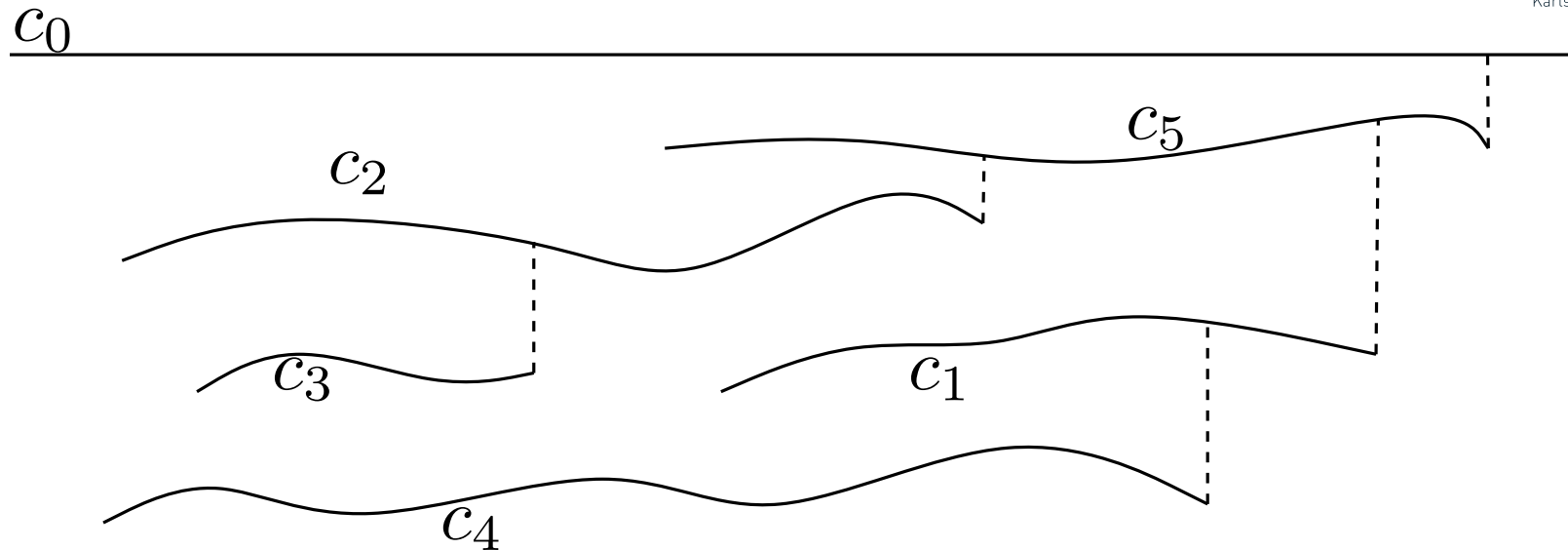
3. Traversiere Baum *inorder* und sortiere Knoten nach erstem Auftreten.

Warum bleibt  $\succ$  erhalten?



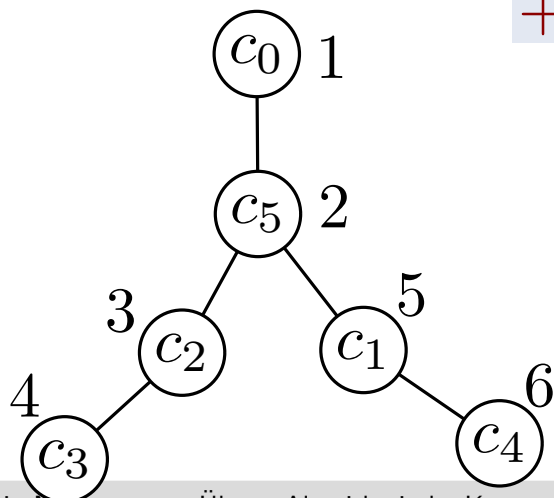


# Erweiterung zur totalen Ordnung



1. Füge Stecke mit Endpunkten  $(-\infty, \infty)$  und  $(\infty, \infty)$  ein.
2. Erstelle Baum  $T$  mit Knoten  $c_0, \dots, c_n$ .

$c_i$  ist Kind von  $c_j$  gdw.  $c_j$  liegt direkt über rechtem Endpunkt von  $c_i$ .  
+ halte horizontale Ordnung der Eckpunkte ein.

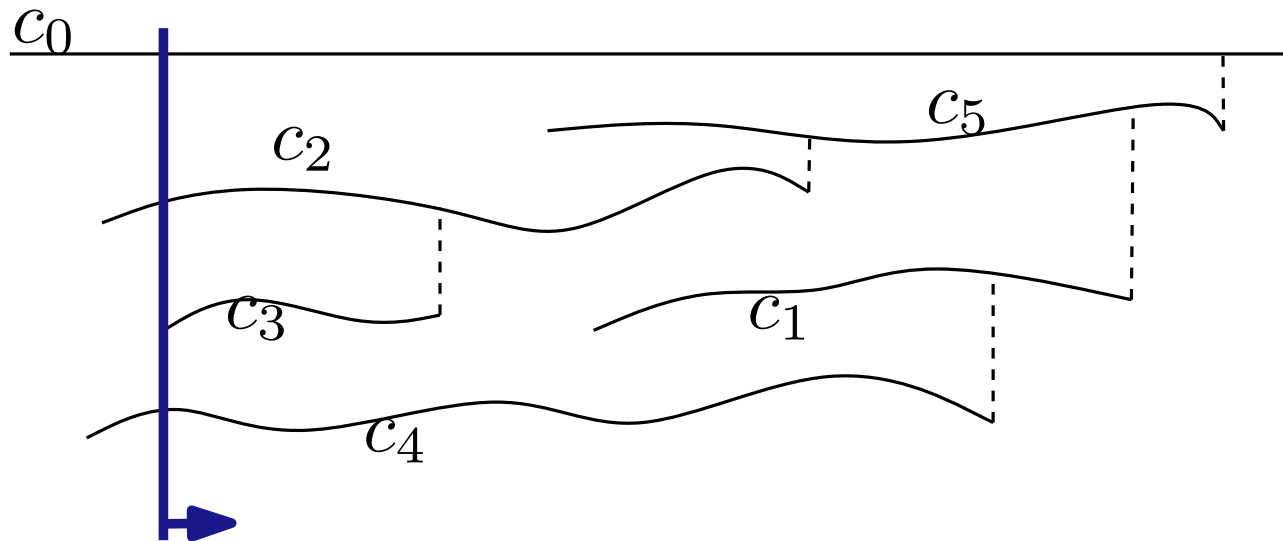


3. Traversiere Baum *inorder* und sortiere Knoten nach erstem Auftreten.

Warum bleibt  $\succ$  erhalten?

Wie schnell  $T$  berechnen?

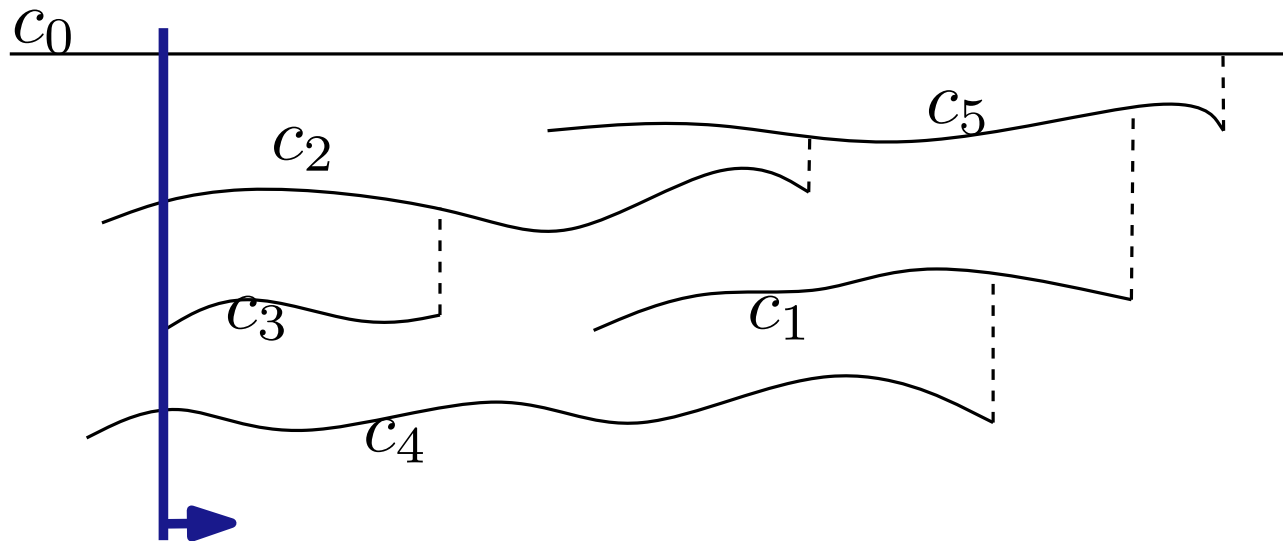
# Berechnung von $T$



Vertikale Sweep-Line von links nach rechts:

**Events:** Endpunkte der Kurven.

# Berechnung von $T$

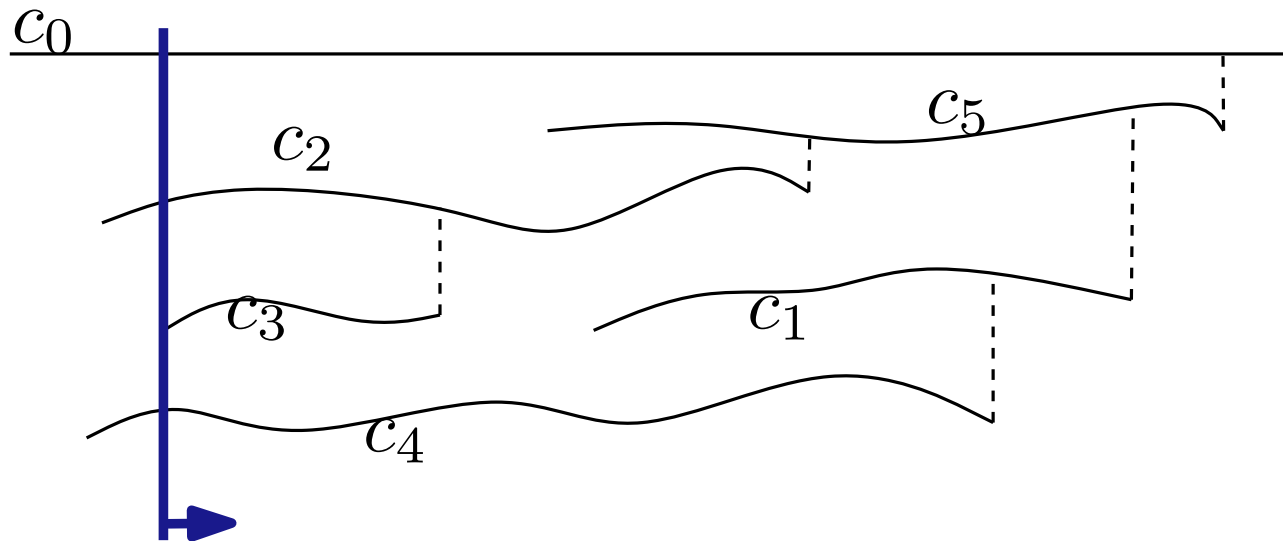


Vertikale Sweep-Line von links nach rechts:

**Events:** Endpunkte der Kurven.

**Sweep-Line-Zustand:** Kurven die von Sweep-Line geschnitten werden. Repräsentation als Binärbaum.

# Berechnung von $T$



Vertikale Sweep-Line von links nach rechts:

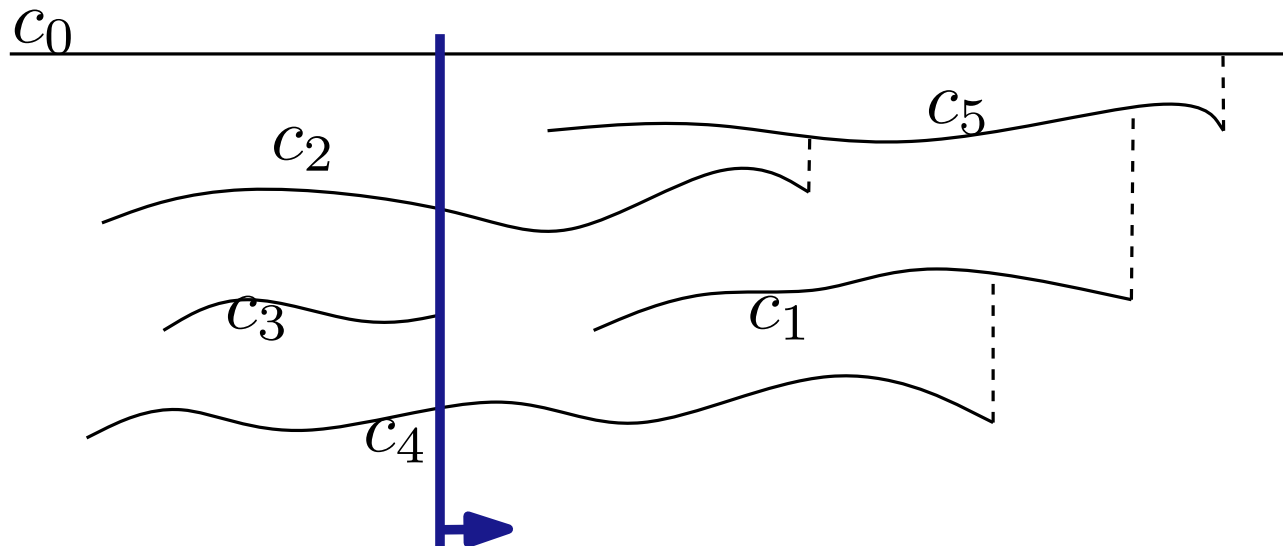
**Events:** Endpunkte der Kurven.

**Sweep-Line-Zustand:** Kurven die von Sweep-Line geschnitten werden. Repräsentation als Binärbaum.

**Abarbeitung der Events  $p$ :**

$p$  ist linker Endpunkt einer Kurve  $c_i$ :  $c_i$  wird in  $S$  einsortiert.

# Berechnung von $T$



Vertikale Sweep-Line von links nach rechts:

**Events:** Endpunkte der Kurven.

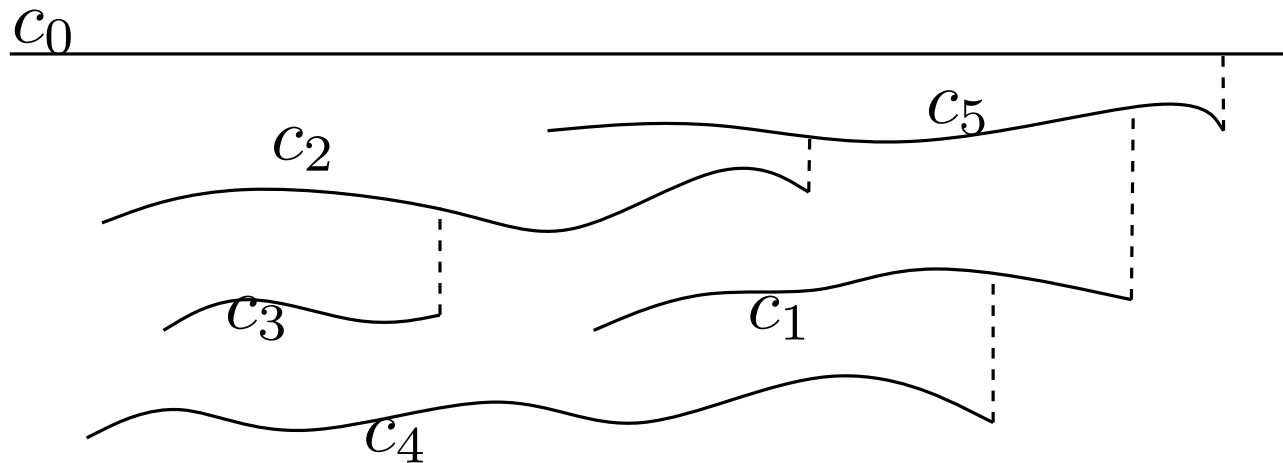
**Sweep-Line-Zustand:** Kurven die von Sweep-Line geschnitten werden. Repräsentation als Binärbaum.

**Abarbeitung der Events  $p$ :**

$p$  ist linker Endpunkt einer Kurve  $c_i$ :  $c_i$  wird in  $S$  einsortiert.

$p$  ist rechter Endpunkt einer Kurve  $c_i$ : Entferne  $c_i$  aus  $S$  und setze Kurve, die Sweep-Line direkt über  $c_i$  schneidet als Vater von  $c_i$ .

# Berechnung von $T$



Laufzeit:  $O(n \log n)$

Vertikale Sweep-Line von links nach rechts:

**Events:** Endpunkte der Kurven.

**Sweep-Line-Zustand:** Kurven die von Sweep-Line geschnitten werden. Repräsentation als Binärbaum.

**Abarbeitung der Events  $p$ :**

$p$  ist linker Endpunkt einer Kurve  $c_i$ :  $c_i$  wird in  $S$  einsortiert.

$p$  ist rechter Endpunkt einer Kurve  $c_i$ : Entferne  $c_i$  aus  $S$  und setze Kurve, die Sweep-Line direkt über  $c_i$  schneidet als Vater von  $c_i$ .

# Ordnung in monotonen Karten

Karte  $M$  ist **monoton**, falls jeder Pfad in  $M$   $x$ -monoton ist.

**Lemma 1:** Für monotone Karte  $M$  ist die Vertikalordnung  $\succ$  azyklisch; eine Totalordnung, die  $\succ$  erweitert, kann in  $O(n \log n)$  Zeit bestimmt werden, wobei  $n$  die Knotenzahl in  $M$  ist.

# Ordnung in monotonen Karten

Karte  $M$  ist **monoton**, falls jeder Pfad in  $M$   $x$ -monoton ist.

**Lemma 1:** Für monotone Karte  $M$  ist die Vertikalordnung  $\succ$  azyklisch; eine Totalordnung, die  $\succ$  erweitert, kann in  $O(n \log n)$  Zeit bestimmt werden, wobei  $n$  die Knotenzahl in  $M$  ist.

**Lemma 2:** Zwei monotone Karten  $M$  und  $M'$  sind äquivalent gdw. sie die gleiche Vertikalordnung  $\succ$  definieren.



# Ordnung in monotonen Karten

Karte  $M$  ist **monoton**, falls jeder Pfad in  $M$   $x$ -monoton ist.

**Lemma 1:** Für monotone Karte  $M$  ist die Vertikalordnung  $\succ$  azyklisch; eine Totalordnung, die  $\succ$  erweitert, kann in  $O(n \log n)$  Zeit bestimmt werden, wobei  $n$  die Knotenzahl in  $M$  ist.

**Lemma 2:** Zwei monotone Karten  $M$  und  $M'$  sind äquivalent gdw. sie die gleiche Vertikalordnung  $\succ$  definieren.

Gilt Lemma 2 auch für nicht monotone Karten?

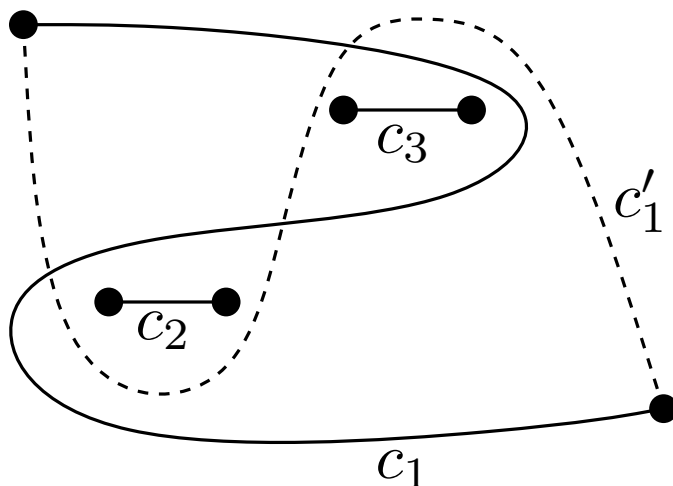
# Ordnung in monotonen Karten

Karte  $M$  ist **monoton**, falls jeder Pfad in  $M$   $x$ -monoton ist.

**Lemma 1:** Für monotone Karte  $M$  ist die Vertikalordnung  $\succ$  azyklisch; eine Totalordnung, die  $\succ$  erweitert, kann in  $O(n \log n)$  Zeit bestimmt werden, wobei  $n$  die Knotenzahl in  $M$  ist.

**Lemma 2:** Zwei monotone Karten  $M$  und  $M'$  sind äquivalent gdw. sie die gleiche Vertikalordnung  $\succ$  definieren.

Gilt Lemma 2 auch für nicht monotone Karten?



$\{c_1, c_2, c_3\}$  und  $\{c_1', c_2, c_3\}$  bilden gleiche Oberhalb-Ordnung, sind aber nicht äquivalent.

# Skizze des Schematisierungs-Algorithmus

[Cabello, de Berg, van Kreveld '05]

**Input:** Karte  $M$

**Output:** schematisierte äquivalente Karte  $M'$  (falls existiert)

1. Zerlege nicht-monotone Pfade in monotone Teile
2. Erstelle rektifizierte Karte  $R$  mit achsenparallelen Pfaden
3. Wandle  $R$  in kanonische Form  $R_c$  um
4. Berechne Totalordnung  $>$  der Pfade aus  $R_c$
5. Konstruiere inkrementell schematische Karte  $M'$  durch höchstmögliches Hinzufügen von Pfaden entsprechend  $>$

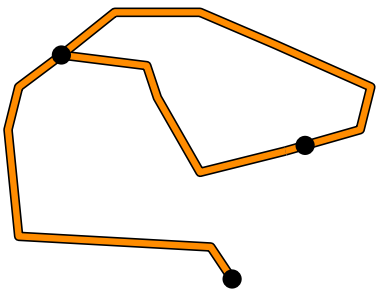
# Skizze des Schematisierungs-Algorithmus

[Cabello, de Berg, van Kreveld '05]

**Input:** Karte  $M$

**Output:** schematisierte äquivalente Karte  $M'$  (falls existiert)

1. Zerlege nicht-monotone Pfade in monotone Teile
2. Erstelle rektifizierte Karte  $R$  mit achsenparallelen Pfaden
3. Wandle  $R$  in kanonische Form  $R_c$  um
4. Berechne Totalordnung  $\succ$  der Pfade aus  $R_c$
5. Konstruiere inkrementell schematische Karte  $M'$  durch höchstmögliches Hinzufügen von Pfaden entsprechend  $\succ$



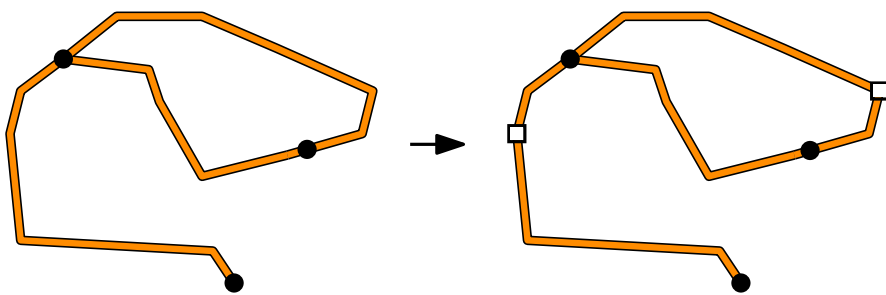
# Skizze des Schematisierungs-Algorithmus

[Cabello, de Berg, van Kreveld '05]

**Input:** Karte  $M$

**Output:** schematisierte äquivalente Karte  $M'$  (falls existiert)

1. Zerlege nicht-monotone Pfade in monotone Teile
2. Erstelle rektifizierte Karte  $R$  mit achsenparallelen Pfaden
3. Wandle  $R$  in kanonische Form  $R_c$  um
4. Berechne Totalordnung  $>$  der Pfade aus  $R_c$
5. Konstruiere inkrementell schematische Karte  $M'$  durch höchstmögliches Hinzufügen von Pfaden entsprechend  $>$



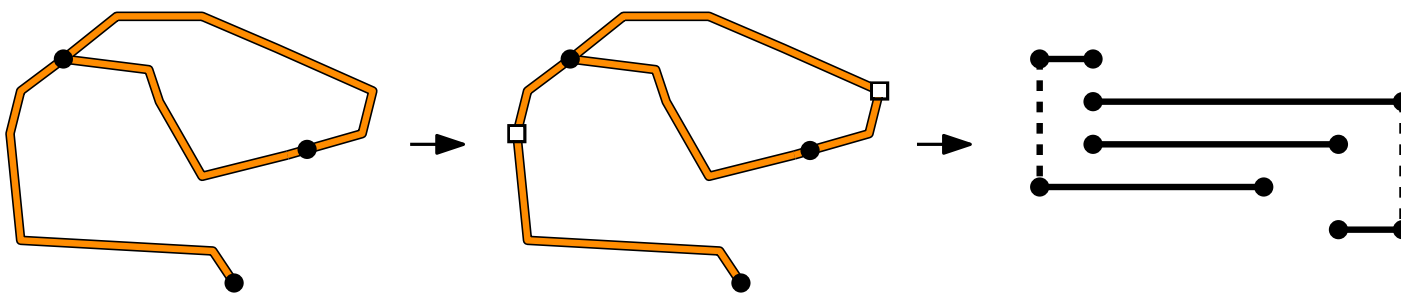
# Skizze des Schematisierungs-Algorithmus

[Cabello, de Berg, van Kreveld '05]

**Input:** Karte  $M$

**Output:** schematisierte äquivalente Karte  $M'$  (falls existiert)

1. Zerlege nicht-monotone Pfade in monotone Teile
2. Erstelle rektifizierte Karte  $R$  mit achsenparallelen Pfaden
3. Wandle  $R$  in kanonische Form  $R_c$  um
4. Berechne Totalordnung  $>$  der Pfade aus  $R_c$
5. Konstruiere inkrementell schematische Karte  $M'$  durch höchstmögliches Hinzufügen von Pfaden entsprechend  $>$



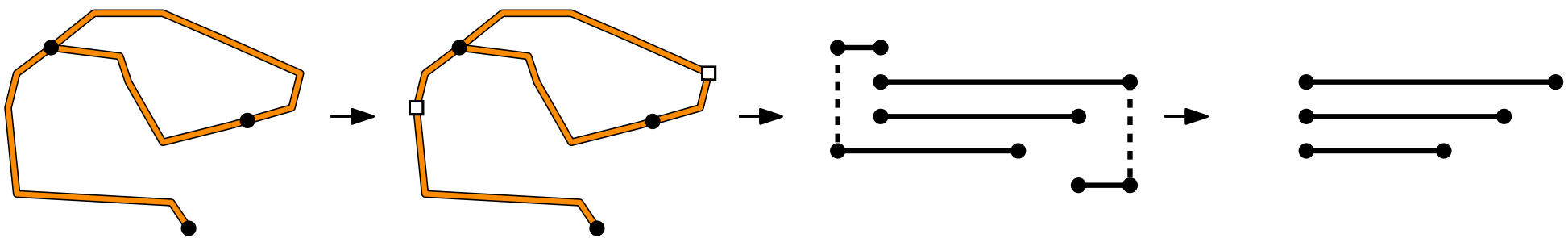
# Skizze des Schematisierungs-Algorithmus

[Cabello, de Berg, van Kreveld '05]

**Input:** Karte  $M$

**Output:** schematisierte äquivalente Karte  $M'$  (falls existiert)

1. Zerlege nicht-monotone Pfade in monotone Teile
2. Erstelle rektifizierte Karte  $R$  mit achsenparallelen Pfaden
3. Wandle  $R$  in kanonische Form  $R_c$  um
4. Berechne Totalordnung  $\succ$  der Pfade aus  $R_c$
5. Konstruiere inkrementell schematische Karte  $M'$  durch höchstmögliches Hinzufügen von Pfaden entsprechend  $\succ$



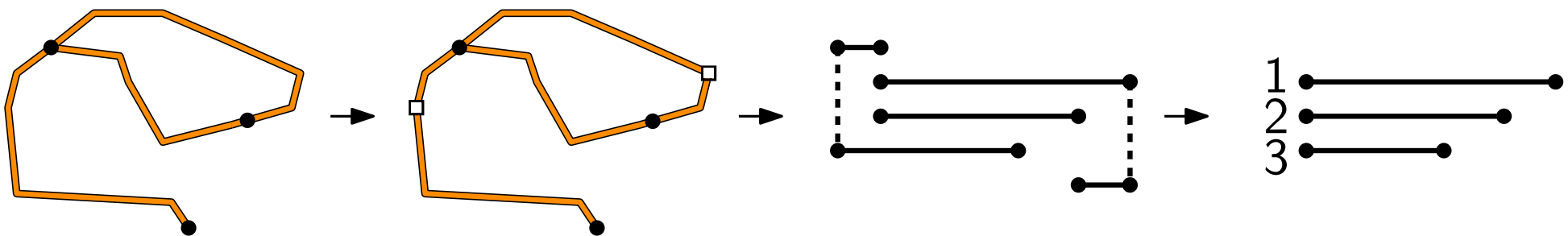
# Skizze des Schematisierungs-Algorithmus

[Cabello, de Berg, van Kreveld '05]

**Input:** Karte  $M$

**Output:** schematisierte äquivalente Karte  $M'$  (falls existiert)

1. Zerlege nicht-monotone Pfade in monotone Teile
2. Erstelle rektifizierte Karte  $R$  mit achsenparallelen Pfaden
3. Wandle  $R$  in kanonische Form  $R_c$  um
4. Berechne Totalordnung  $\succ$  der Pfade aus  $R_c$
5. Konstruiere inkrementell schematische Karte  $M'$  durch höchstmögliches Hinzufügen von Pfaden entsprechend  $\succ$





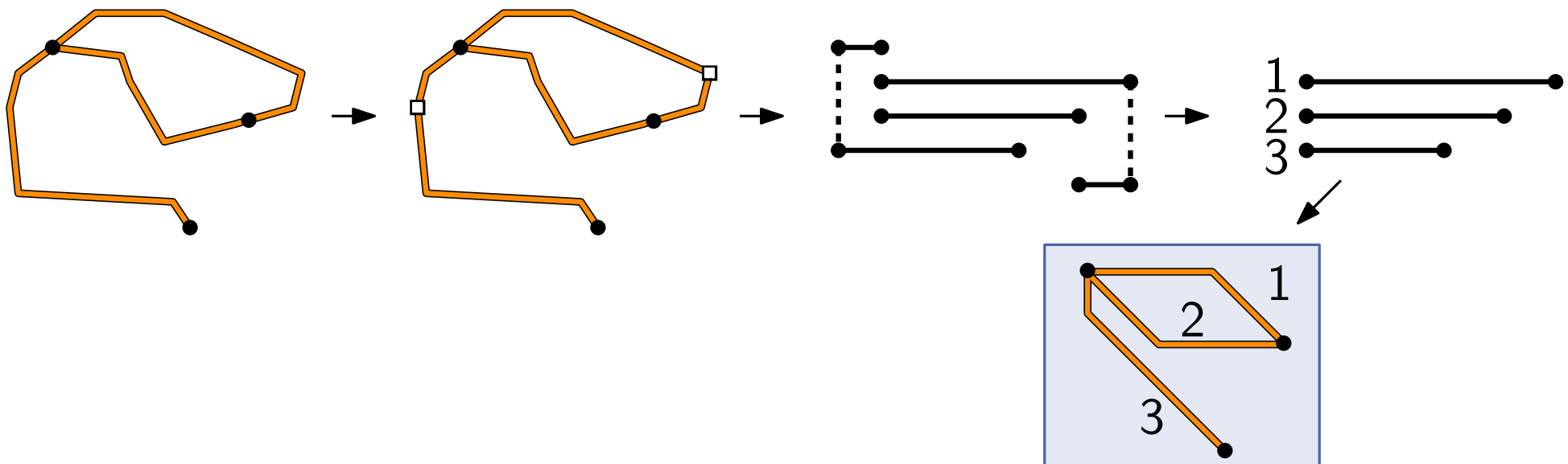
# Skizze des Schematisierungs-Algorithmus

[Cabello, de Berg, van Kreveld '05]

**Input:** Karte  $M$

**Output:** schematisierte äquivalente Karte  $M'$  (falls existiert)

1. Zerlege nicht-monotone Pfade in monotone Teile
2. Erstelle rektifizierte Karte  $R$  mit achsenparallelen Pfaden
3. Wandle  $R$  in kanonische Form  $R_c$  um
4. Berechne Totalordnung  $\succ$  der Pfade aus  $R_c$
5. Konstruiere inkrementell schematische Karte  $M'$  durch höchstmögliches Hinzufügen von Pfaden entsprechend  $\succ$



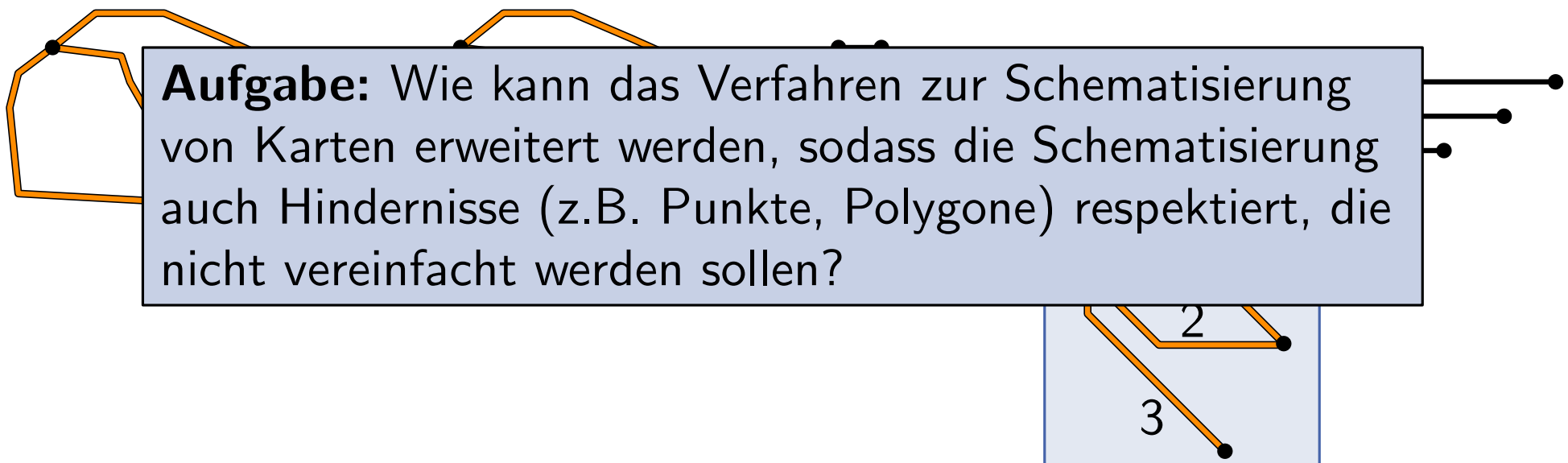
# Skizze des Schematisierungs-Algorithmus

[Cabello, de Berg, van Kreveld '05]

**Input:** Karte  $M$

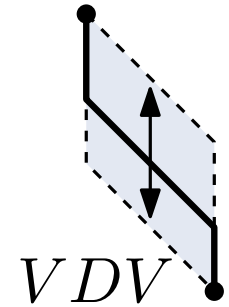
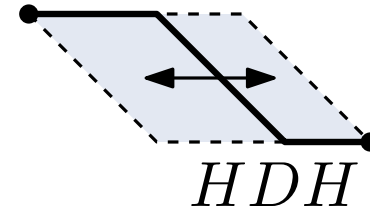
**Output:** schematisierte äquivalente Karte  $M'$  (falls existiert)

1. Zerlege nicht-monotone Pfade in monotone Teile
2. Erstelle rektifizierte Karte  $R$  mit achsenparallelen Pfaden
3. Wandle  $R$  in kanonische Form  $R_c$  um
4. Berechne Totalordnung  $>$  der Pfade aus  $R_c$
5. Konstruiere inkrementell schematische Karte  $M'$  durch höchstmögliches Hinzufügen von Pfaden entsprechend  $>$



# Platzieren von Pfaden

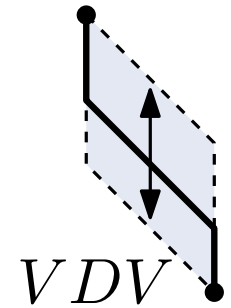
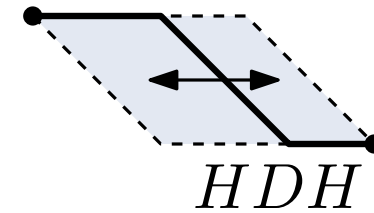
Definiere Typen zulässiger Pfade, z.B.  $\{HDH, VDV\}$



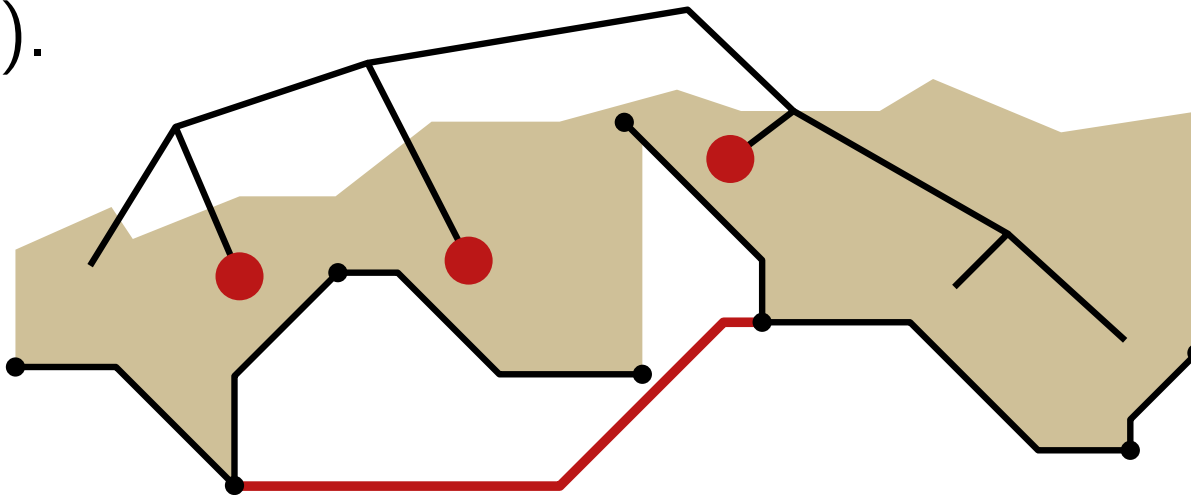
# Platzieren von Pfaden

Definiere Typen zulässiger Pfade, z.B.  $\{HDH, VDV\}$

Füge Pfade von  $M$  als  $HDH$ - oder  $VDV$ -Pfade nach der Totalordnung der kanonischen Rektifizierung ein.

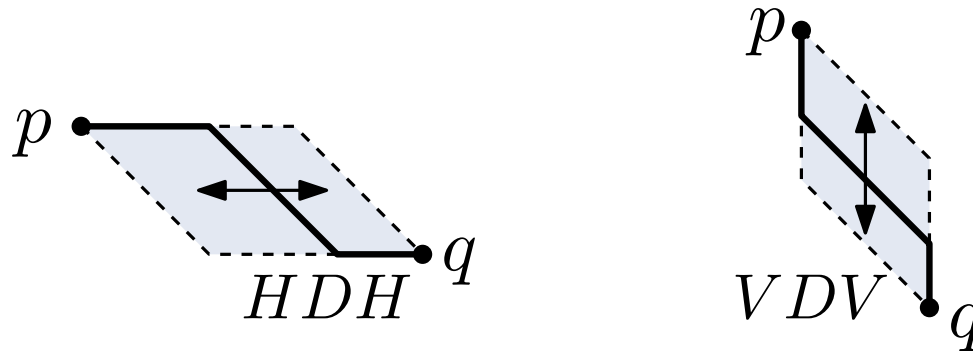


Verwalte lower envelope der Pfade als binären Suchbaum und platziere jeden neuen Pfad höchstmöglich (maximaler Platz für den Rest).

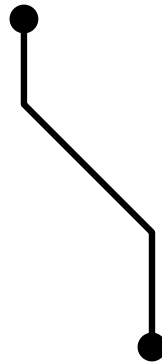


# Eindeutige Wahl

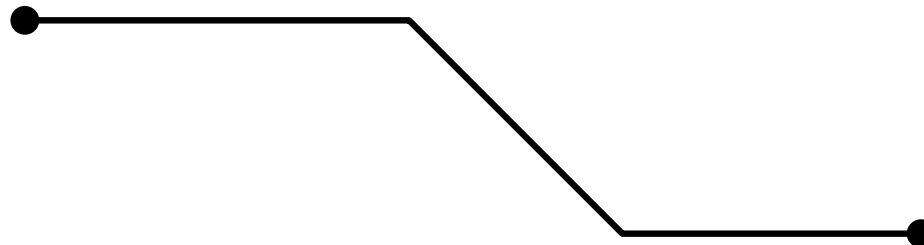
Pfadtyp hängt von Distanz zwischen  $p$  und  $q$  ab.



Vertikale Distanz  $>$  horizontale Distanz: VDV-Pfad

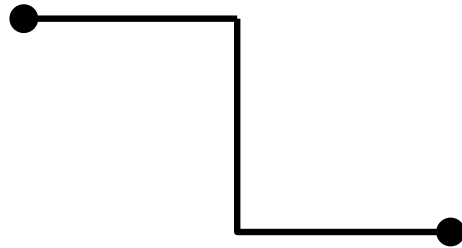


Horizontale Distanz  $>$  vertikale Distanz: HDH-Pfad

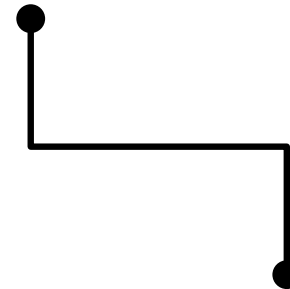


# Platzieren von Pfaden

Ist das Verfahren auch für  $\{HVH, VHV\}$ -Pfade zulässig?



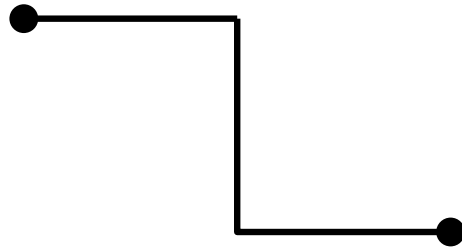
HVH-Pfad



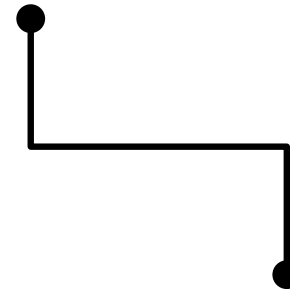
VHV-Pfad

# Platzieren von Pfaden

Ist das Verfahren auch für  $\{HVH, VHV\}$ -Pfade zulässig?

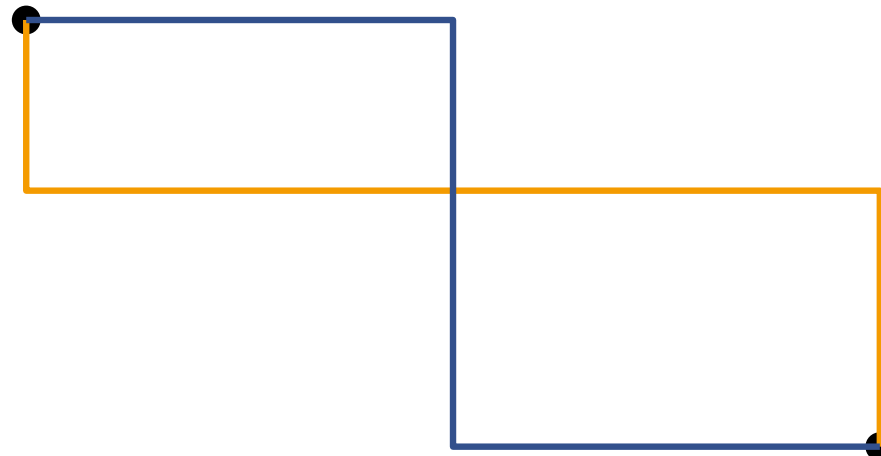


HVH-Pfad



VHV-Pfad

Nein, solche Pfade sind nicht zulässig, da Auswahl nicht eindeutig.



# Übungsblatt 3 – Punktbeschriftung



# Klassische Kartenbeschriftung



© David Imus

“Poor, sloppy, amateurish type placement is irresponsible; it spoils even the best image and impedes reading.” (E. Imhof '75)

Kartografie hat lange Erfahrung mit manueller Beschriftung in Karten.

einige Richtlinien:

- neben, über oder unter dem Objekt
- am besten oben rechts
- Überlappungen und Überdeckungen vermeiden
- eindeutige grafische Zuordnung
- ...

# Klassische Kartenbeschriftung



© David Imus

“Poor, sloppy, amateurish type placement is irresponsible; it spoils even the best image and impedes reading.” (E. Imhof '75)

Kartografie hat lange Erfahrung mit manueller Beschriftung in Karten.

einige Richtlinien:

- neben, über oder unter dem Objekt
- am besten oben rechts
- Überlappungen und Überdeckungen vermeiden
- eindeutige grafische Zuordnung
- ...

→ lässt sich leicht in ein Problem der algorithmischen Geometrie zur automatischen Platzierung von Labeln übersetzen

# Klassische Kartenbeschriftung



“Poor, sloppy, amateurish type placement is irresponsible; it spoils even the best image and impedes reading.” (E. Imhof '75)

Viele andere Eigenschaften tragen zur Beschriftungsqualität bei:

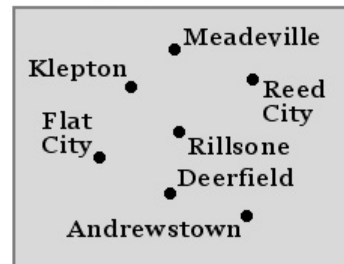
- Font, Farbe
- **fett**/*kursiv* etc.
- Größe, Zeichenabstand

Hier: nur geometrische Platzierung

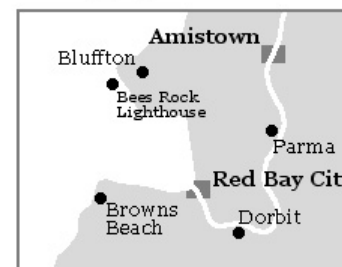
Poor type placement:



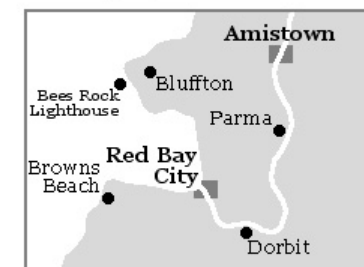
Good type placement:



Poor type placement:



Good type placement:



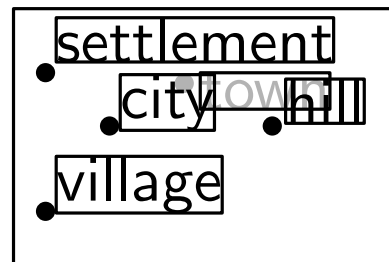
Beispiele von J B Krygier

→ lässt sich leicht in ein Problem der algorithmischen Geometrie zur automatischen Platzierung von Labeln übersetzen

# Geometrische Beschriftungsmodelle

**Geg:**  $n$  Punkte in der Ebene und für jeden Punkt ein Label repräsentiert durch dessen bounding box

**Ges:** finde zulässige\* Beschriftung für eine **maximale Teilmenge** der Punkte, so dass sich keine zwei Label schneiden (MAXNUMBER)



MAXNUMBER



# Geometrische Beschriftungsmodelle

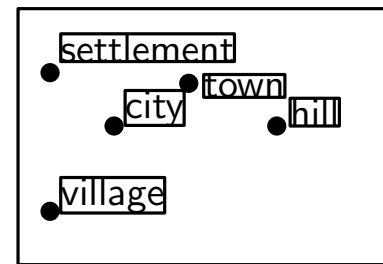
**Geg:**  $n$  Punkte in der Ebene und für jeden Punkt ein Label repräsentiert durch dessen bounding box

**Ges:** finde zulässige\* Beschriftung für eine **maximale Teilmenge** der Punkte, so dass sich keine zwei Label schneiden (MAXNUMBER)

*oder* finde zulässige\* Beschriftung **aller** Label, so dass sich keine zwei Label schneiden und die **Schriftgröße** maximal ist (MAXSIZE)



MAXNUMBER



MAXSIZE

# Geometrische Beschriftungsmodelle

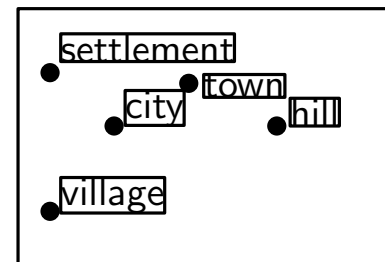
**Geg:**  $n$  Punkte in der Ebene und für jeden Punkt ein Label repräsentiert durch dessen bounding box

**Ges:** finde zulässige\* Beschriftung für eine **maximale Teilmenge** der Punkte, so dass sich keine zwei Label schneiden (MAXNUMBER)

oder finde zulässige\* Beschriftung **aller** Label, so dass sich keine zwei Label schneiden und die **Schriftgröße** maximal ist (MAXSIZE)



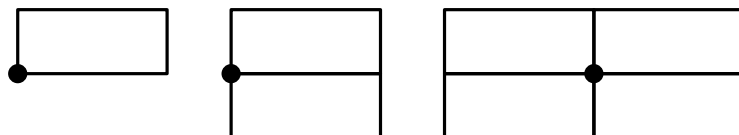
MAXNUMBER



MAXSIZE

\* Was ist eine **zulässige** Beschriftung?

diskrete Modelle

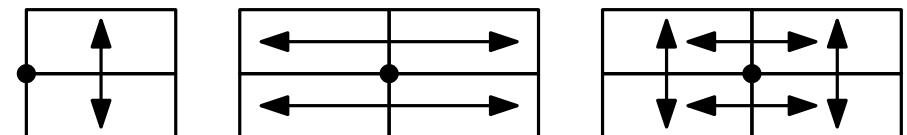


1P

2P

4P

Slider-Modelle



1S

2S

4S

# Gütebegriff

Die  $M_1 : M_2$ -Güte zwischen zwei Labeling-Modellen  $M_1$  und  $M_2$  ist definiert als

$$\lim_{n \rightarrow \infty} \max \left\{ \frac{\text{Größe der opt. Lösung von } I \text{ bzgl. } M_1}{\text{Größe der opt. Lösung von } I \text{ bzgl. } M_2} \mid \text{Instanz } I \text{ der Größe } n. \right\}$$

# Gütebegriff

Die  $M_1 : M_2$ -Güte zwischen zwei Labeling-Modellen  $M_1$  und  $M_2$  ist definiert als

$$\lim_{n \rightarrow \infty} \max \left\{ \frac{\text{Größe der opt. Lösung von } I \text{ bzgl. } M_1}{\text{Größe der opt. Lösung von } I \text{ bzgl. } M_2} \mid \text{Instanz } I \text{ der Größe } n. \right\}$$

**Aufgabe:** Zeigen Sie für Einheitsquadrate als Label, dass  $\frac{3}{2}$  eine untere Schranke für die Güte zwischen dem Slider-Modell 4S und dem diskreten Modell ist, egal wie viele diskrete Positionen man im letzteren Modell zulässt.



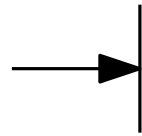
# Gütebegriff

Die  $M_1 : M_2$ -Güte zwischen zwei Labeling-Modellen  $M_1$  und  $M_2$  ist definiert als

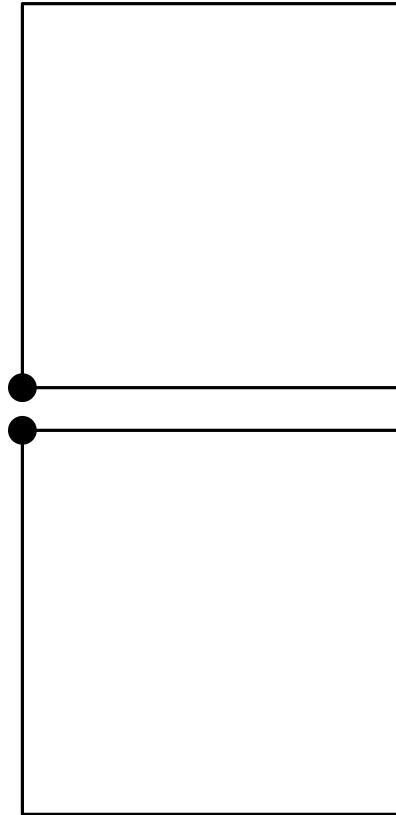
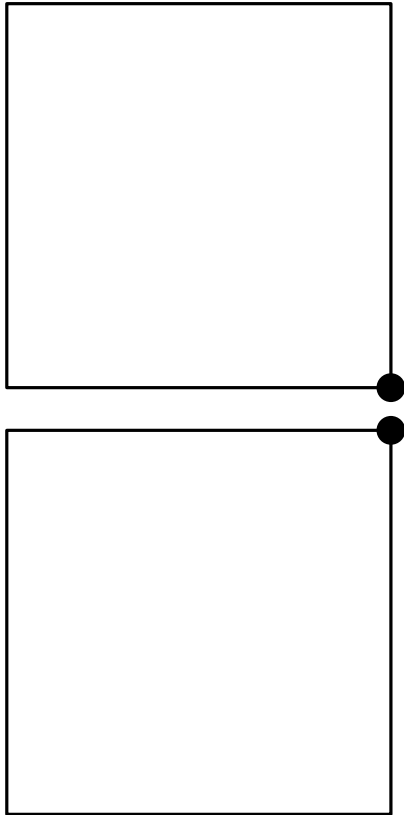
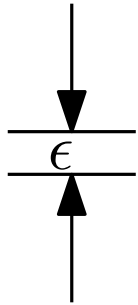
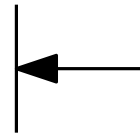
$$\lim_{n \rightarrow \infty} \max \left\{ \frac{\text{Größe der opt. Lösung von } I \text{ bzgl. } M_1}{\text{Größe der opt. Lösung von } I \text{ bzgl. } M_2} \mid \text{Instanz } I \text{ der Größe } n. \right\}$$

**Aufgabe:** Zeigen Sie für Einheitsquadrate als Label, dass  $\frac{3}{2}$  eine untere Schranke für die Güte zwischen dem Slider-Modell 4S und dem diskreten Modell ist, egal wie viele diskrete Positionen man im letzteren Modell zulässt.

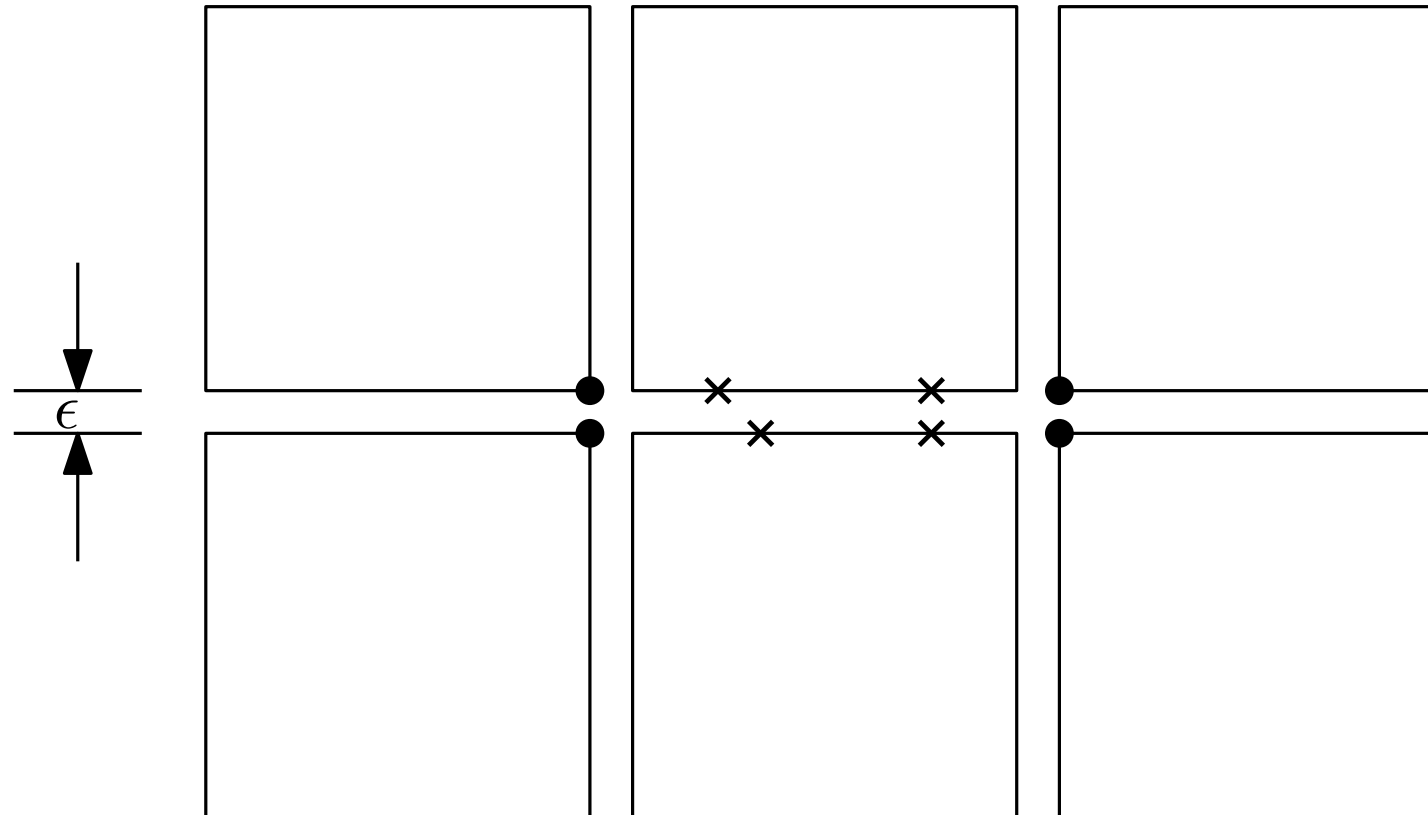
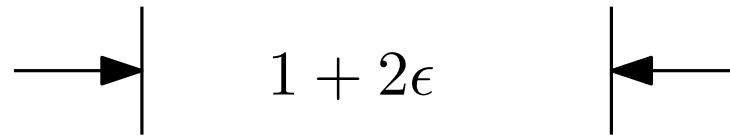
# Aufgabe 1.1



$$1 + 2\epsilon$$

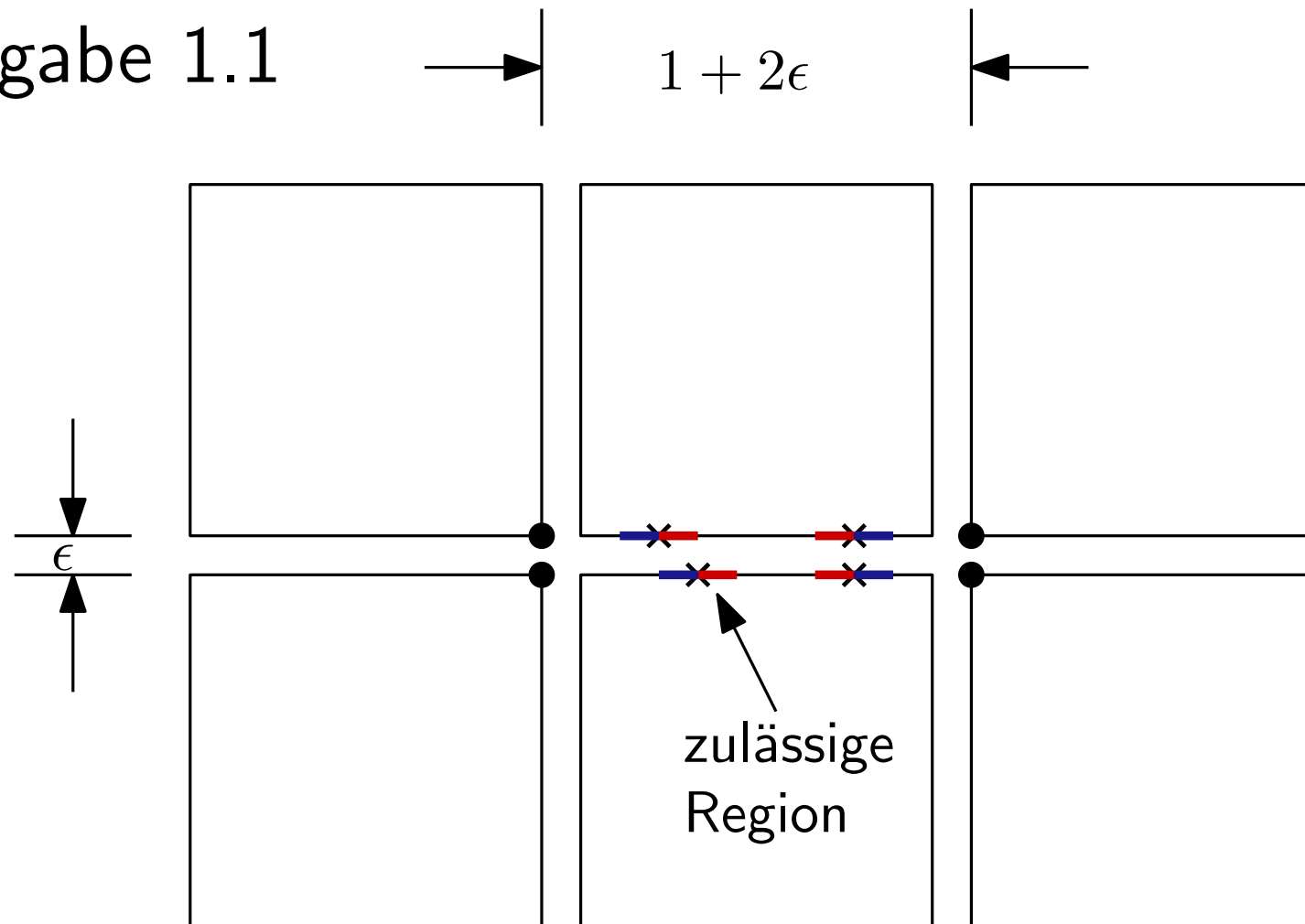


# Aufgabe 1.1



× Vorgegebene Positionen im diskreten Modell.

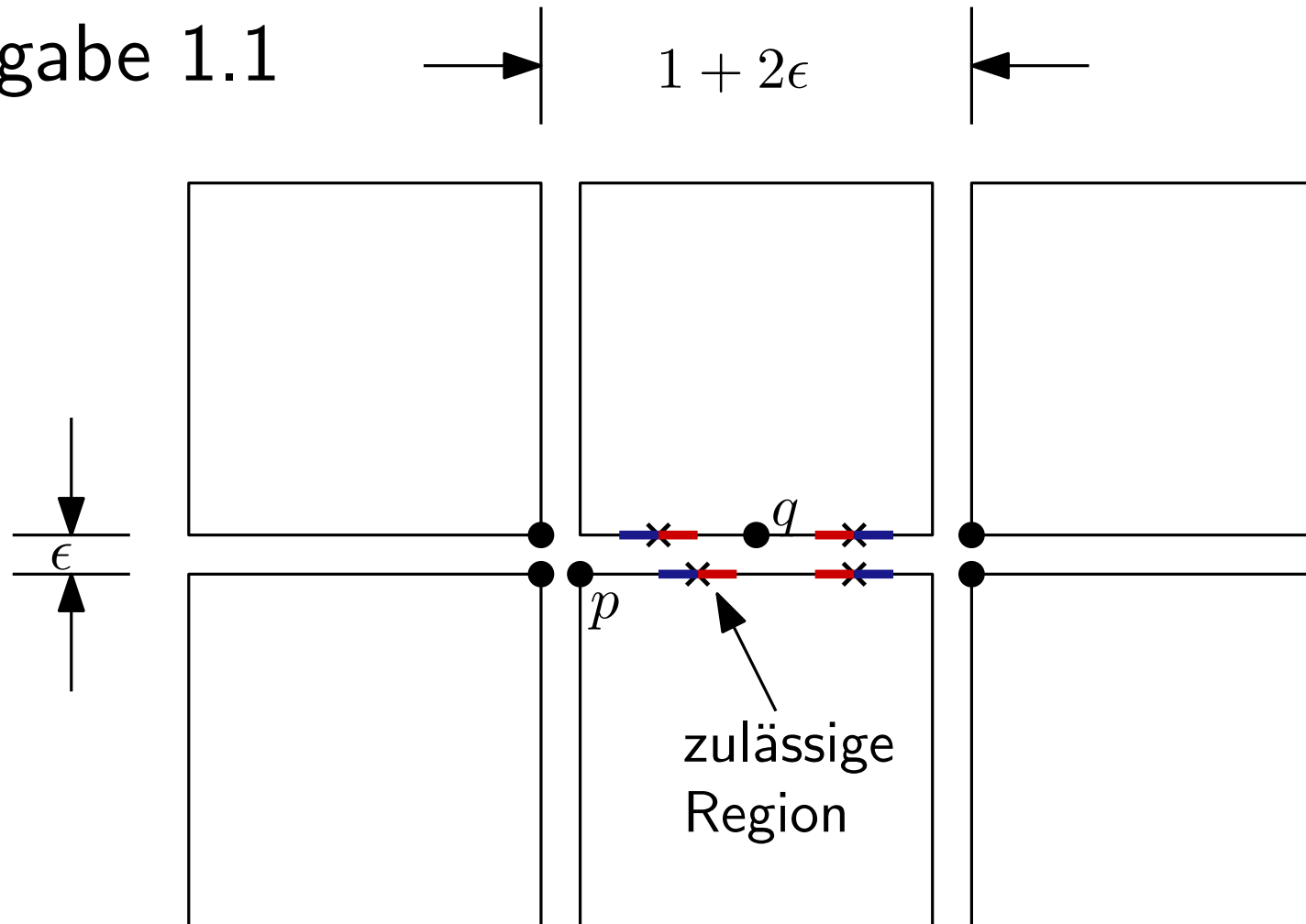
# Aufgabe 1.1



× Vorgegebene Positionen im diskreten Modell.

Wähle  $\epsilon$  kleiner als die Hälfte des kleinsten Abstands zweier vorgegebenen Positionen.

# Aufgabe 1.1

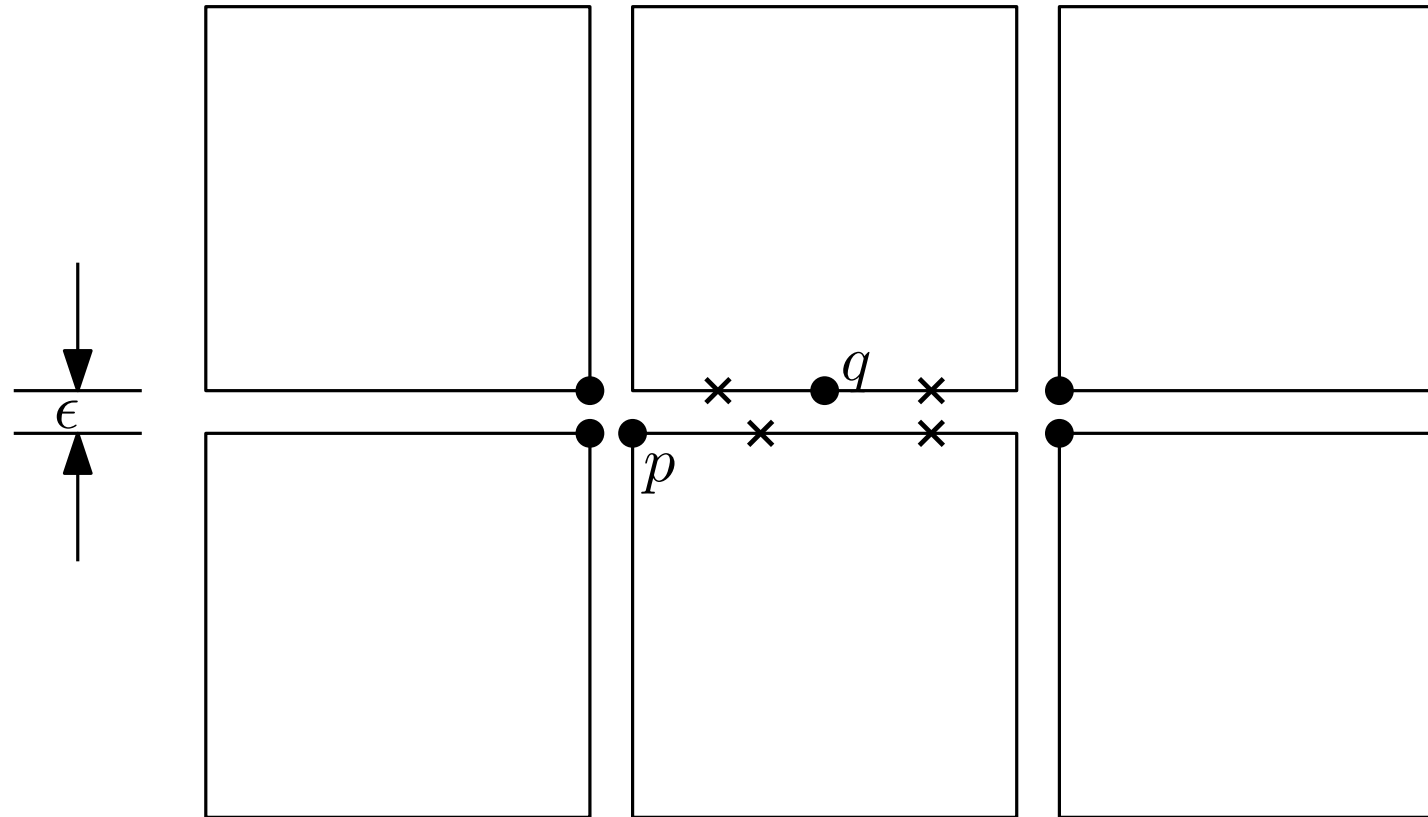
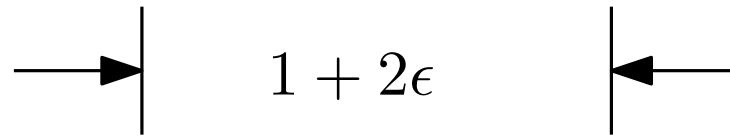


× Vorgegebene Positionen im diskreten Modell.

Wähle  $\epsilon$  kleiner als die Hälfte des kleinsten Abstands zweier vorgegebenen Positionen.

Setze  $p$  und  $q$  außerhalb der zulässigen Region.

# Aufgabe 1.1



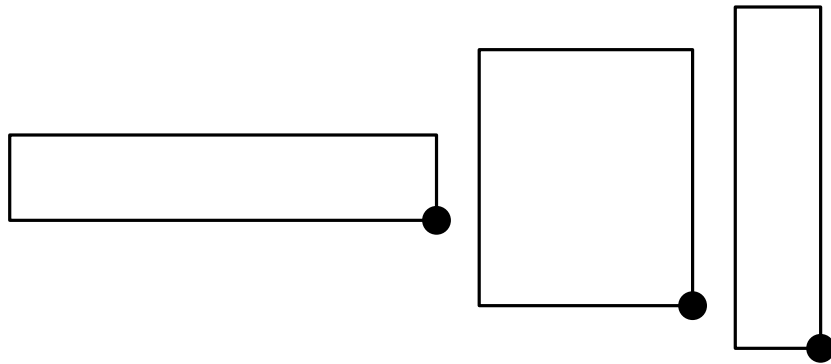
- Im Slider-Modell können alle sechs Punkte beschriftet werden.
- Im diskreten Modell können nur vier Punkte beschriftet werden.
- Wiederholung dieser Gruppe ergibt also eine Güte von  $\frac{3}{2}$ .

# Aufgabe 1.2

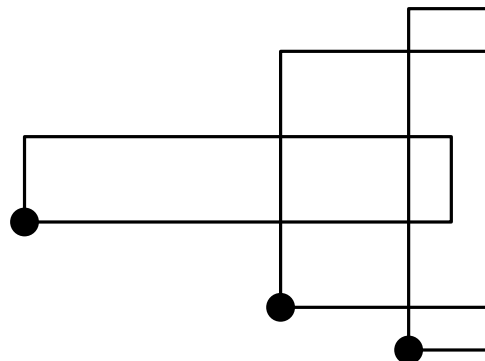
**Aufgabe:** Zeigen Sie, dass die  $M_1 : M_2$ -Güte zwischen zwei Modellen  $M_1$  und  $M_2$  beliebig schlecht werden kann, wenn man die Label nicht auf Einheitsquadrate beschränkt. Hinweis: Betrachten Sie hierzu die zwei diskreten Modelle 1P und 2P.

# Aufgabe 1.2

**Aufgabe:** Zeigen Sie, dass die  $M_1 : M_2$ -Güte zwischen zwei Modellen  $M_1$  und  $M_2$  beliebig schlecht werden kann, wenn man die Label nicht auf Einheitsquadrate beschränkt. Hinweis: Betrachten Sie hierzu die zwei diskreten Modelle 1P und 2P.



Beschriftung aller Punkte in 2P möglich.



Beschriftung nur eines Punkts in 1P möglich.



# Greedy-Algorithmus

**Geg:** Punktmenge  $P = \{p_1, \dots, p_n\}$ , Menge rechteckiger  
Label  $L = \{l_1, \dots, l_n\}$  mit Höhe 1 und variabler Breite

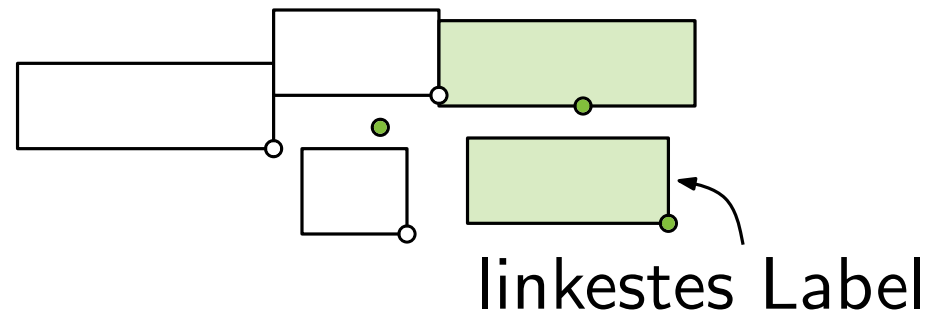
**Modell:** 4-Slider

# Greedy-Algorithmus

**Geg:** Punktmenge  $P = \{p_1, \dots, p_n\}$ , Menge rechteckiger Label  $L = \{l_1, \dots, l_n\}$  mit Höhe 1 und variabler Breite

**Modell:** 4-Slider

**Def:** Für eine Menge  $P'$  von Punkten mit bereits platzierten Labeln heißt ein Label  $l$  für einen Punkt  $p \in P \setminus P'$  **linkestes** Label, falls seine rechte Kante unter allen konfliktfrei platzierbaren Labeln am weitesten links liegt.



# Greedy-Algorithmus

**Geg:** Punktmenge  $P = \{p_1, \dots, p_n\}$ , Menge rechteckiger  
Label  $L = \{l_1, \dots, l_n\}$  mit Höhe 1 und variabler Breite

**Modell:** 4-Slider

**Def:** Für eine Menge  $P'$  von Punkten mit bereits platzierten  
Labeln heißt ein Label  $l$  für einen Punkt  $p \in P \setminus P'$   
**linkestes** Label, falls seine rechte Kante unter allen  
konfliktfrei platzierbaren Labeln am weitesten links liegt.

Algorithmus Greedy4S(P,L)

```
while linkestes Label  $l$  existiert do  
   $\lfloor$  platziere  $l$  linkest möglich
```

**Lemma 1:** Greedy4S berechnet eine Faktor- Approximation.

Versuchen Sie den Approximationsfaktor zu bestimmen!

# Greedy-Algorithmus

**Geg:** Punktmenge  $P = \{p_1, \dots, p_n\}$ , Menge rechteckiger  
Label  $L = \{l_1, \dots, l_n\}$  mit Höhe 1 und variabler Breite

**Modell:** 4-Slider

**Def:** Für eine Menge  $P'$  von Punkten mit bereits platzierten  
Labeln heißt ein Label  $l$  für einen Punkt  $p \in P \setminus P'$   
**linkestes** Label, falls seine rechte Kante unter allen  
konfliktfrei platzierbaren Labeln am weitesten links liegt.

Algorithmus Greedy4S(P,L)

```
while linkestes Label  $l$  existiert do  
   $\lfloor$  platziere  $l$  linkest möglich
```

**Lemma 1:** Greedy4S berechnet eine Faktor-1/2 Approximation.

# Greedy-Algorithmus

**Geg:** Punktmenge  $P = \{p_1, \dots, p_n\}$ , Menge rechteckiger  
Label  $L = \{l_1, \dots, l_n\}$  mit Höhe 1 und variabler Breite

**Modell:** 4-Slider

**Def:** Für eine Menge  $P'$  von Punkten mit bereits platzierten  
Labeln heißt ein Label  $l$  für einen Punkt  $p \in P \setminus P'$   
**linkestes** Label, falls seine rechte Kante unter allen  
konfliktfrei platzierbaren Labeln am weitesten links liegt.

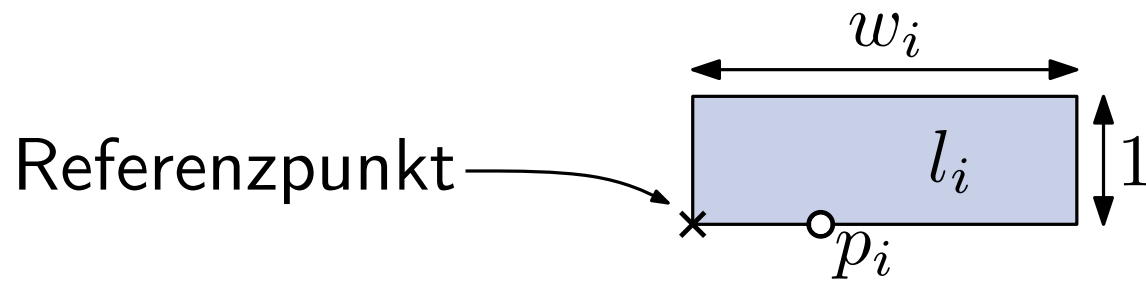
Algorithmus Greedy4S(P,L)

**while** linkestes Label  $l$  existiert **do**  
  └ platziere  $l$  linkest möglich

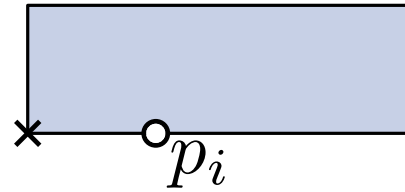
**Lemma 1:** Greedy4S berechnet eine Faktor-1/2 Approximation.

**Aufgabe:** Welcher Approximations-Faktor ergibt sich, wenn die Label unterschiedliche Höhen besitzen dürfen?

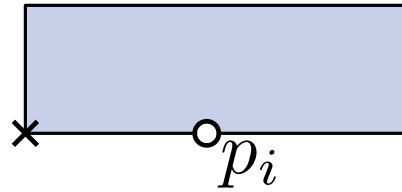
# Notation



# Notation

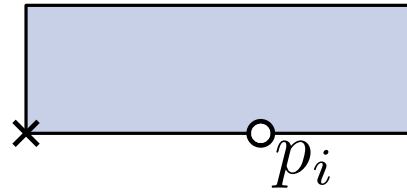


# Notation





# Notation



# Notation



# Notation



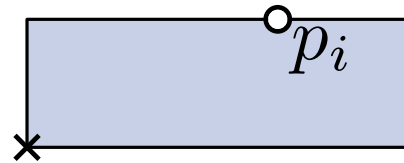
# Notation



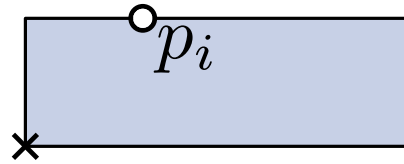
# Notation



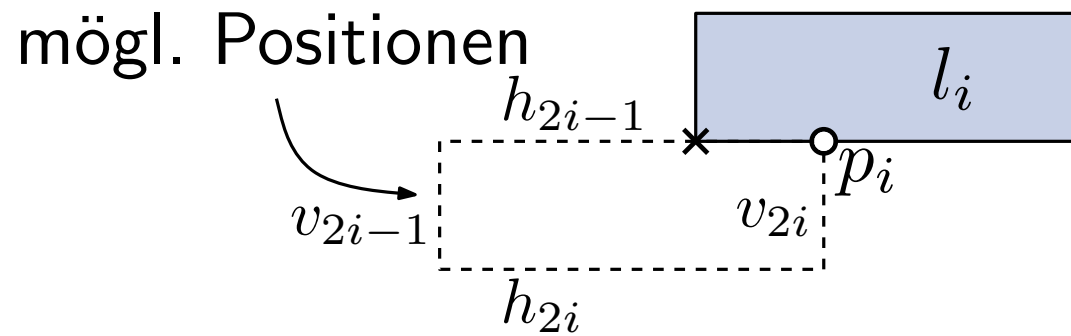
# Notation



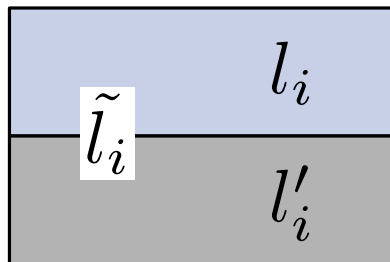
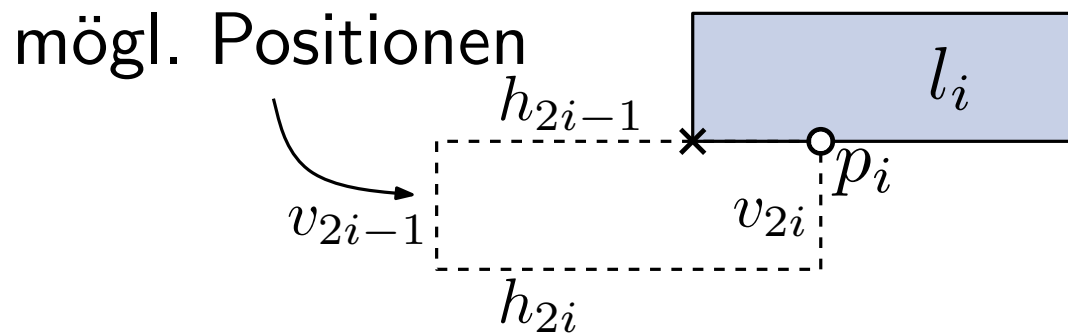
# Notation



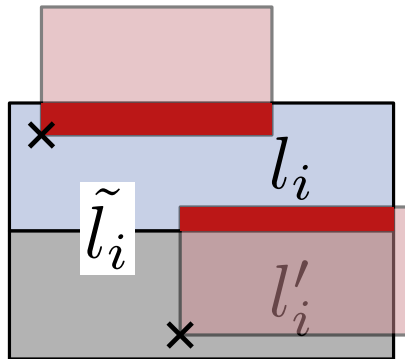
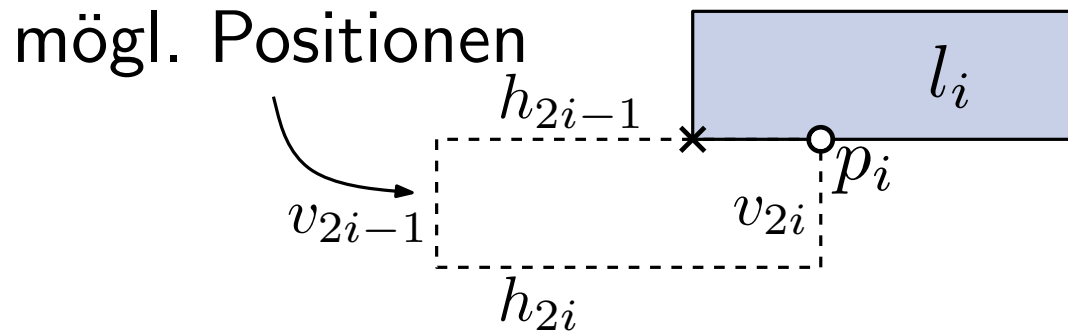
# Notation



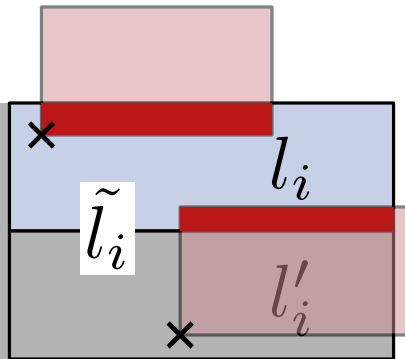
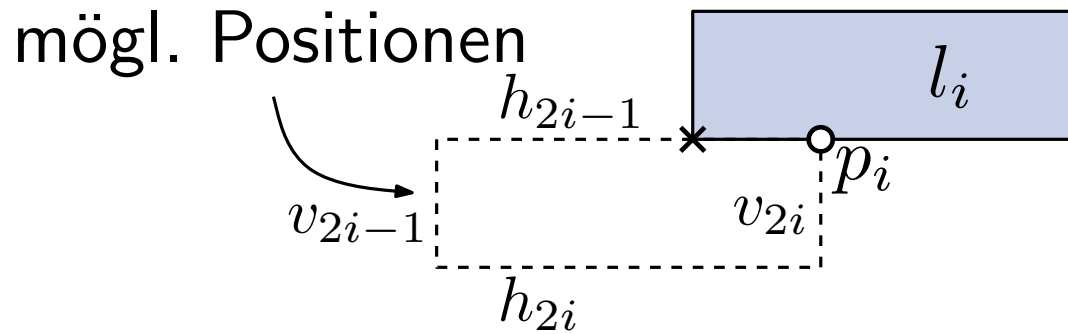




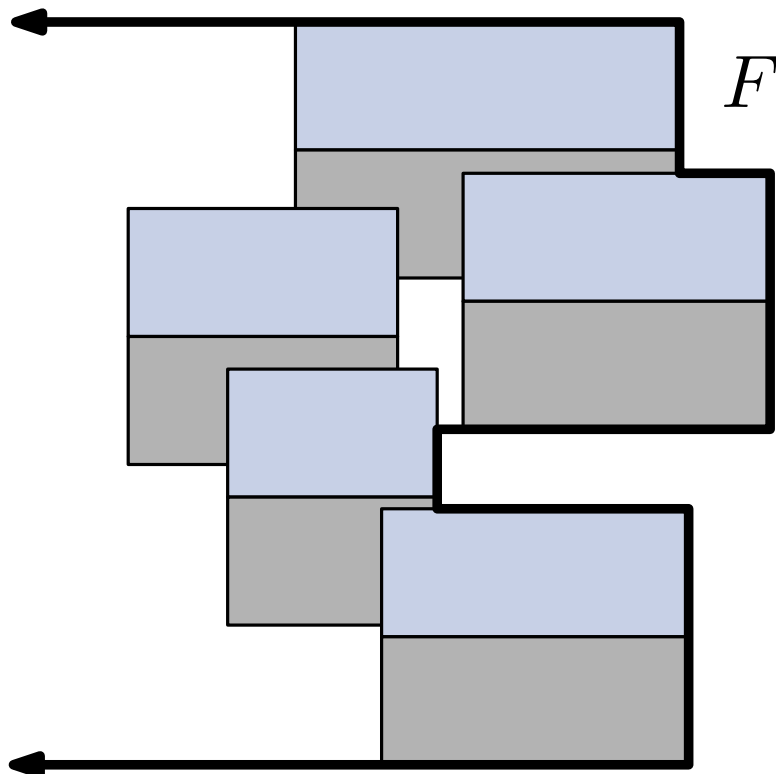
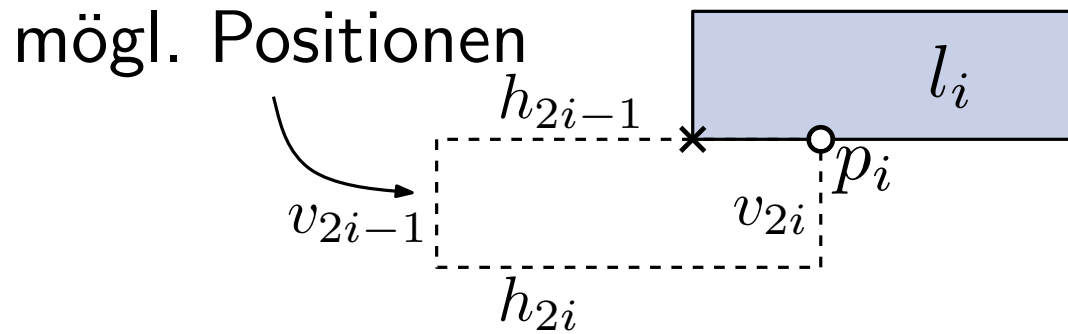
Label  $l_i$  und erweitertes Label  $\tilde{l}_i$



Label  $l_i$  und erweitertes Label  $\tilde{l}_i$   
kein Referenzpunkt darf in  $\tilde{l}_i$  liegen



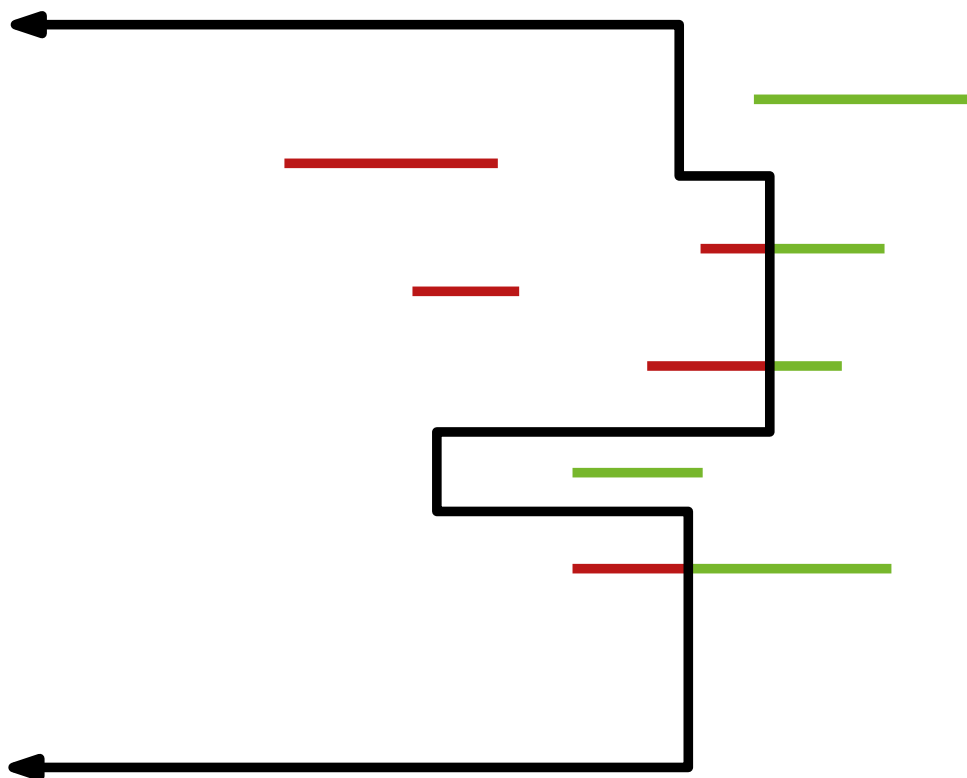
Label  $l_i$  und erweitertes Label  $\tilde{l}_i$   
kein Referenzpunkt darf in  $\tilde{l}_i$  liegen  
da immer linkstes Label platziert  
wird, kein Referenzpunkt links von  $\tilde{l}_i$



Grenze  $F$  als *right envelope* der platzierten Label

# Grenze und linkstes Label

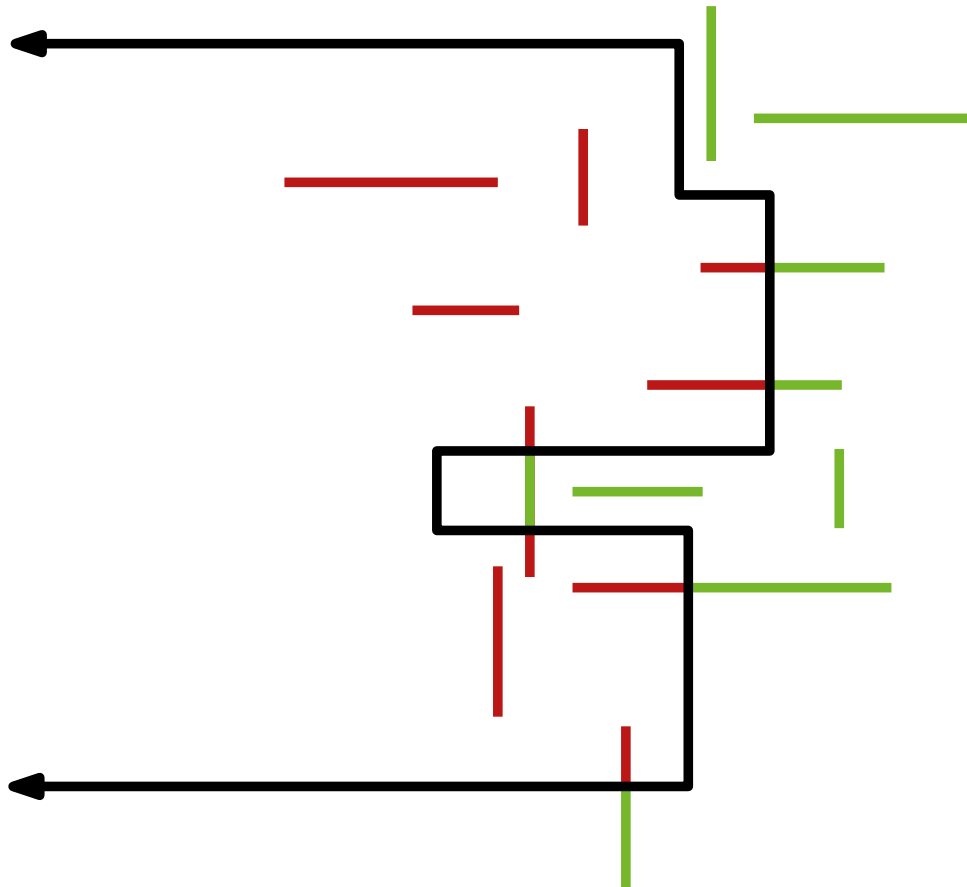
Zur Bestimmung des nächsten linken Labels genügt es  $F$  und die Strecken  $h_{2i-1}, h_{2i}, v_{2i-1}, v_{2i}$  für alle Punkte  $p_i$  rechts von  $F$  zu betrachten.



- Menge  $H$  der horizontalen Strecken
- Menge  $V$  der vertikalen Strecken
- $H_{\text{right}} \subseteq H$ : rechts von  $F$
- $H_{\text{int}} \subseteq H$ : schneiden  $F$

# Grenze und linkstes Label

Zur Bestimmung des nächsten linken Labels genügt es  $F$  und die Strecken  $h_{2i-1}, h_{2i}, v_{2i-1}, v_{2i}$  für alle Punkte  $p_i$  rechts von  $F$  zu betrachten.



- Menge  $H$  der horizontalen Strecken
- Menge  $V$  der vertikalen Strecken
- $H_{\text{right}} \subseteq H$ : rechts von  $F$
- $H_{\text{int}} \subseteq H$ : schneiden  $F$
- $V_{\text{int,right}} \subseteq V$ : enthalten Punkt rechts von  $F$
- linkeste Punkte im grünen Bereich der Strecken sind zulässige Kandidaten

## 1) Menge $H_{\text{right}}$

- speichere für jede Strecke in  $H_{\text{right}}$  deren rechten Endpunkt (= linkest mögliche Position der rechten Labelseite)
- Datenstruktur: min-Heap  $\mathcal{H}_{\text{right}}$

## 1) Menge $H_{\text{right}}$

- speichere für jede Strecke in  $H_{\text{right}}$  deren rechten Endpunkt (= linkest mögliche Position der rechten Labelseite)
- Datenstruktur: min-Heap  $\mathcal{H}_{\text{right}}$

## 2) Menge $H_{\text{int}}$

- Red-Black Tree  $\mathcal{T}_i$  für jedes vertikale Segment  $f_i$  von  $F$
- speichere Strecken aus  $H_{\text{int}}$ , die  $f_i$  schneiden sortiert nach  $y$ -Koordinaten in den Blättern von  $\mathcal{T}_i$
- speichere zusätzlich Labelbreite an jedem Blatt
- an inneren Knoten minimale Labelbreite im Teilbaum
- min-Heap  $\mathcal{H}_{\text{int}}$  für linkestes Label in jedem  $\mathcal{T}_i$

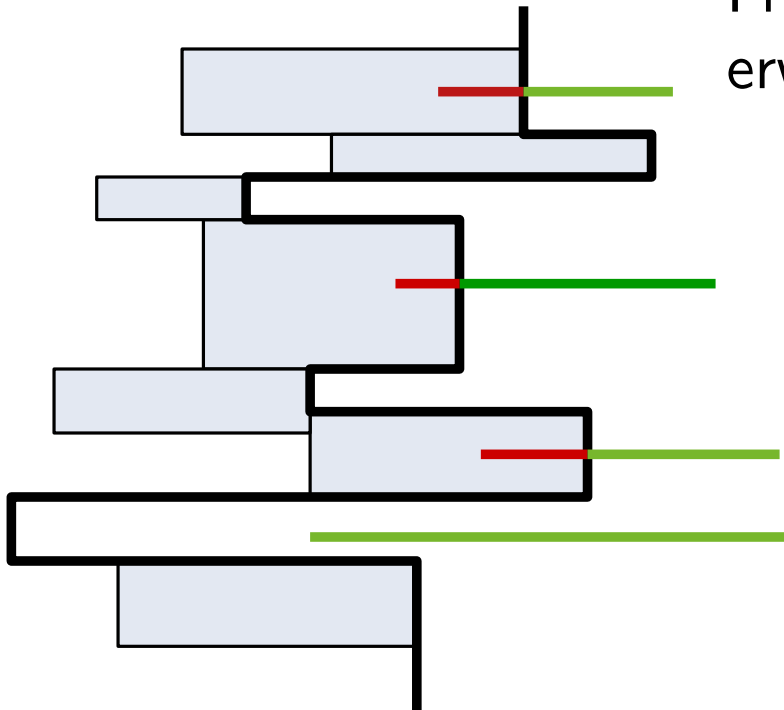


```
while  $\mathcal{H}_{\text{right}}$ ,  $\mathcal{H}_{\text{int}}$  oder  $\mathcal{H}_V$  nicht leer do  
   $v \leftarrow \text{find-min}(\mathcal{H}_V)$   
  while  $v$  links von  $F$  do  
     $\lfloor$   $\text{delete-min}(\mathcal{H}_V)$ ;  $v \leftarrow \text{find-min}(\mathcal{H}_V)$   
   $l_i \leftarrow$  linkstes Label aus  $\mathcal{H}_{\text{right}}$ ,  $\mathcal{H}_{\text{int}}$  und  $\mathcal{H}_V$   
  füge  $l_i$  zur Beschriftung hinzu  
   $f_{\text{new}} \leftarrow$  rechte Kante von  $\tilde{l}_i$   
  update  $F$  und  $\mathcal{T}_V$  mit  $f_{\text{new}}$   
  suche mit der Region links von  $f_{\text{new}}$  in  $\mathcal{P}_{\text{left}}$  und  $\mathcal{P}_{\text{right}}$  und update  
   $\mathcal{H}_{\text{right}}$ ,  $\mathcal{P}_{\text{left}}$ ,  $\mathcal{H}_{\text{int}}$ ,  $\mathcal{T}_i$ 's und  $\mathcal{P}_{\text{right}}$  wie beschrieben  
  entferne alle Verweise auf  $p_i$  aus den Datenstrukturen
```

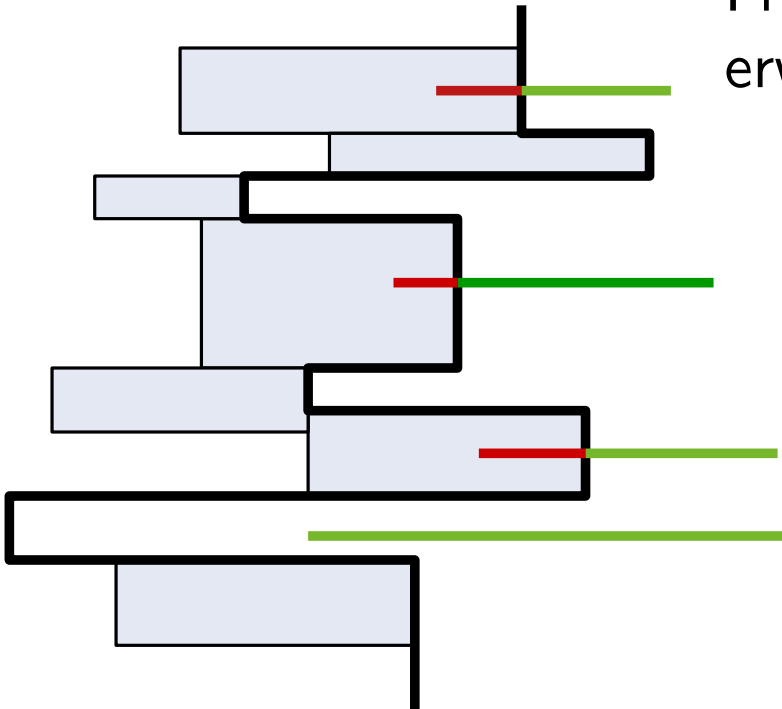
```
while  $\mathcal{H}_{\text{right}}$ ,  $\mathcal{H}_{\text{int}}$  oder  $\mathcal{H}_V$  nicht leer do  
   $v \leftarrow \text{find-min}(\mathcal{H}_V)$   
  while  $v$  links von  $F$  do  
     $\lfloor$   $\text{delete-min}(\mathcal{H}_V)$ ;  $v \leftarrow \text{find-min}(\mathcal{H}_V)$   
   $l_i \leftarrow$  linkstes Label aus  $\mathcal{H}_{\text{right}}$ ,  $\mathcal{H}_{\text{int}}$  und  $\mathcal{H}_V$   
  füge  $l_i$  zur Beschriftung hinzu  
   $f_{\text{new}} \leftarrow$  rechte Kante von  $\tilde{l}_i$   
  update  $F$  und  $\mathcal{T}_V$  mit  $f_{\text{new}}$   
  suche mit der Region links von  $f_{\text{new}}$  in  $\mathcal{P}_{\text{left}}$  und  $\mathcal{P}_{\text{right}}$  und update  
   $\mathcal{H}_{\text{right}}$ ,  $\mathcal{P}_{\text{left}}$ ,  $\mathcal{H}_{\text{int}}$ ,  $\mathcal{T}_i$ 's und  $\mathcal{P}_{\text{right}}$  wie beschrieben  
  entferne alle Verweise auf  $p_i$  aus den Datenstrukturen
```

**Aufgabe:** Wie muss Algorithmus angepasst werden, damit Label verschiedener Höhen erlaubt sind?

Front basiert nur auf Label und nicht auf erweiterte Label.

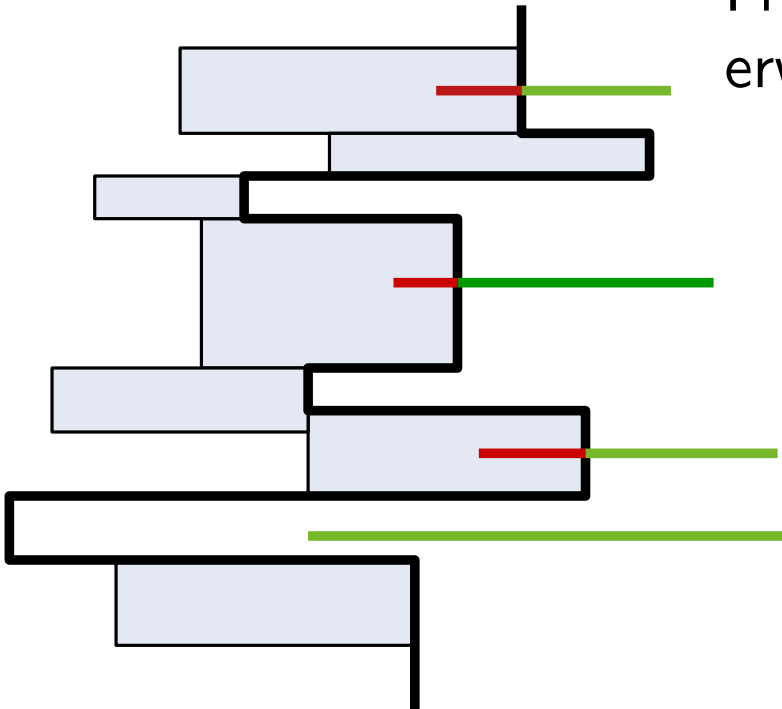


Front basiert nur auf Label und nicht auf erweiterte Label.



Positionen auf einer Strecke links der Front sind nicht zulässig.

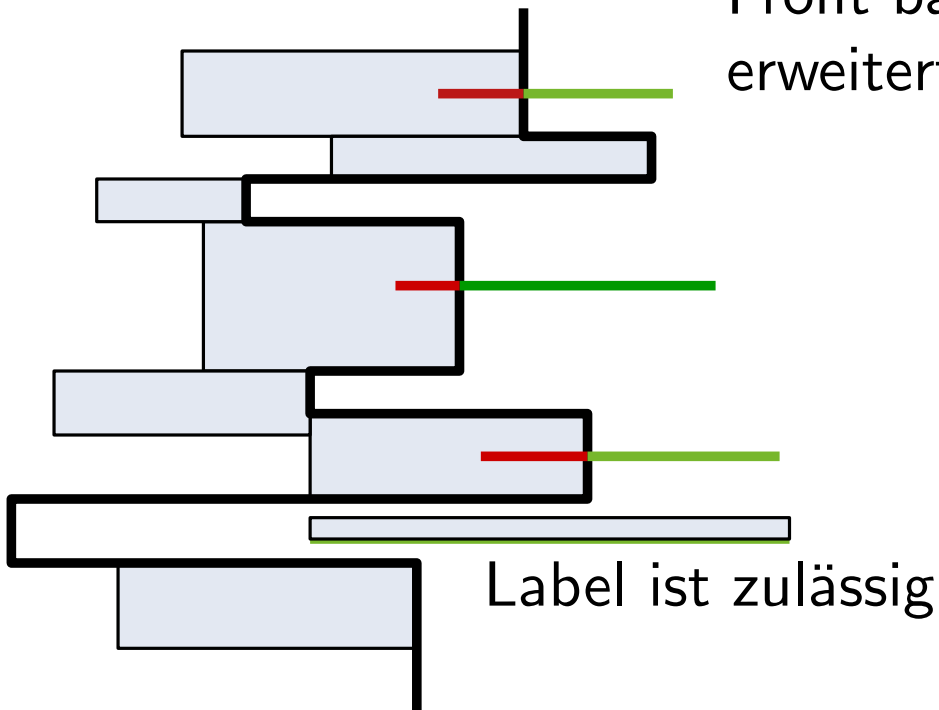
Front basiert nur auf Label und nicht auf erweiterte Label.



Positionen auf einer Strecke links der Front sind nicht zulässig.

Positionen auf einer Strecke rechts der Front **können** zulässig sein.

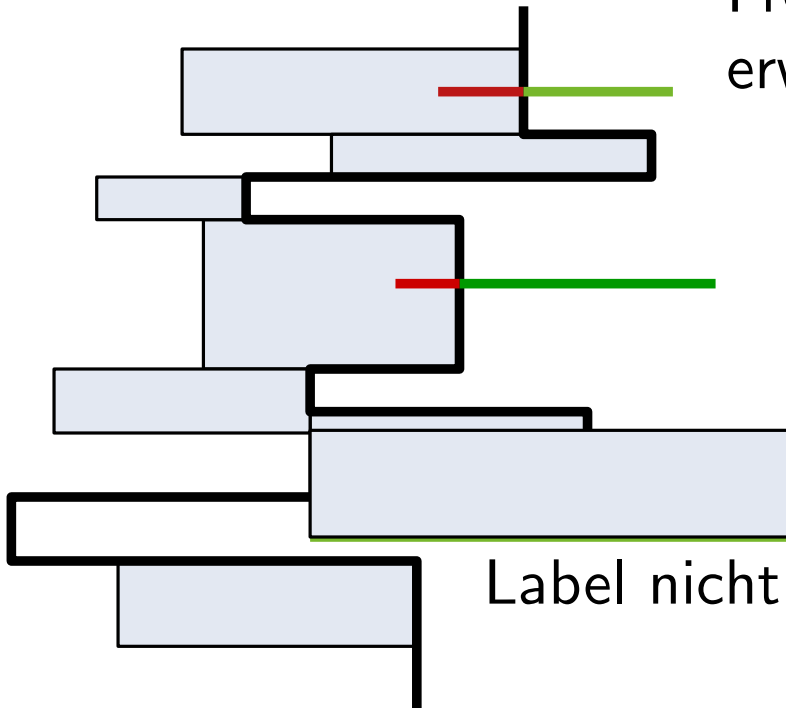
Front basiert nur auf Label und nicht auf erweiterte Label.



Positionen auf einer Strecke links der Front sind nicht zulässig.

Positionen auf einer Strecke rechts der Front **können** zulässig sein.

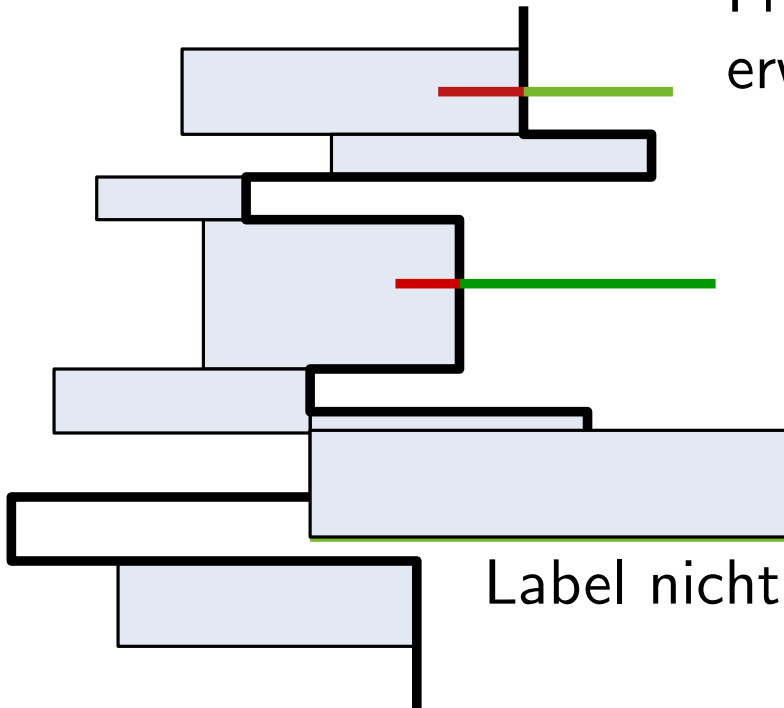
Front basiert nur auf Label und nicht auf erweiterte Label.



Positionen auf einer Strecke links der Front sind nicht zulässig.

Positionen auf einer Strecke rechts der Front **können** zulässig sein.

Front basiert nur auf Label und nicht auf erweiterte Label.



Label nicht zulässig

Positionen auf einer Strecke links der Front sind nicht zulässig.

Positionen auf einer Strecke rechts der Front **können** zulässig sein.

Überprüfe bei Auswahl des linkensten Label  $l$  ob  $l$  zulässig ist.



**while**  $\mathcal{H}_{\text{right}}$ ,  $\mathcal{H}_{\text{int}}$  oder  $\mathcal{H}_V$  nicht leer **do**

$v \leftarrow \text{find-min}(\mathcal{H}_V)$

**while**  $v$  links von  $F$  **do**

└ delete-min( $\mathcal{H}_V$ );  $v \leftarrow \text{find-min}(\mathcal{H}_V)$

$l_i \leftarrow$  linkestes Label aus  $\mathcal{H}_{\text{right}}$ ,  $\mathcal{H}_{\text{int}}$  und  $\mathcal{H}_V$

**while**  $l_i$  nicht zulässig **do**

└  $l_i \leftarrow$  linkestes Label aus  $\mathcal{H}_{\text{right}}$ ,  $\mathcal{H}_{\text{int}}$  und  $\mathcal{H}_V$

füge  $l_i$  zur Beschriftung hinzu

$f_{\text{new}} \leftarrow$  rechte Kante von  $l_i$

update  $F$  und  $\mathcal{T}_V$  mit  $f_{\text{new}}$

suche mit der Region links von  $f_{\text{new}}$  in  $\mathcal{P}_{\text{left}}$  und  $\mathcal{P}_{\text{right}}$  und update

$\mathcal{H}_{\text{right}}$ ,  $\mathcal{P}_{\text{left}}$ ,  $\mathcal{H}_{\text{int}}$ ,  $\mathcal{T}_i$ 's und  $\mathcal{P}_{\text{right}}$  wie beschrieben

entferne alle Verweise auf  $p_i$  aus den Datenstrukturen

**while**  $\mathcal{H}_{\text{right}}$ ,  $\mathcal{H}_{\text{int}}$  oder  $\mathcal{H}_V$  nicht leer **do**

$v \leftarrow \text{find-min}(\mathcal{H}_V)$

**while**  $v$  links von  $F$  **do**

$\lfloor$  delete-min( $\mathcal{H}_V$ );  $v \leftarrow \text{find-min}(\mathcal{H}_V)$

$l_i \leftarrow$  linkestes Label aus  $\mathcal{H}_{\text{right}}$ ,  $\mathcal{H}_{\text{int}}$  und  $\mathcal{H}_V$

    füge  $l_i$  zur Beschriftung hinzu

$f_{\text{new}} \leftarrow$  rechte Kante von  $\tilde{l}_i$

    update  $F$  und  $\mathcal{T}_V$  mit  $f_{\text{new}}$

    suche mit der Region links von  $f_{\text{new}}$  in  $\mathcal{P}_{\text{left}}$  und  $\mathcal{P}_{\text{right}}$  und update

$\mathcal{H}_{\text{right}}$ ,  $\mathcal{P}_{\text{left}}$ ,  $\mathcal{H}_{\text{int}}$ ,  $\mathcal{T}_i$ 's und  $\mathcal{P}_{\text{right}}$  wie beschrieben

    entferne alle Verweise auf  $p_i$  aus den Datenstrukturen

**Aufgabe:** Anpassung auf diskrete Modelle?

**while**  $\mathcal{H}_{\text{right}}$ ,  $\mathcal{H}_{\text{int}}$  oder  $\mathcal{H}_V$  nicht leer **do**

$v \leftarrow \text{find-min}(\mathcal{H}_V)$

**while**  $v$  links von  $F$  **do**

$\lfloor$  delete-min( $\mathcal{H}_V$ );  $v \leftarrow \text{find-min}(\mathcal{H}_V)$

$l_i \leftarrow$  linkestes Label aus  $\mathcal{H}_{\text{right}}$ ,  $\mathcal{H}_{\text{int}}$  und  $\mathcal{H}_V$

    füge  $l_i$  zur Beschriftung hinzu

$f_{\text{new}} \leftarrow$  rechte Kante von  $\tilde{l}_i$

    update  $F$  und  $\mathcal{T}_V$  mit  $f_{\text{new}}$

    suche mit der Region links von  $f_{\text{new}}$  in  $\mathcal{P}_{\text{left}}$  und  $\mathcal{P}_{\text{right}}$  und update

$\mathcal{H}_{\text{right}}$ ,  $\mathcal{P}_{\text{left}}$ ,  $\mathcal{H}_{\text{int}}$ ,  $\mathcal{T}_i$ 's und  $\mathcal{P}_{\text{right}}$  wie beschrieben

    entferne alle Verweise auf  $p_i$  aus den Datenstrukturen

**Aufgabe:** Anpassung auf diskrete Modelle?

- Nur vorgegeben Positionen eines Labels interessant.
- Positionen links der Front und auf der Front implizieren Konflikt.
- $\Rightarrow$  nur Positionen rechts der Front interessant.

**while**  $\mathcal{H}_{\text{right}}$ ,  ~~$\mathcal{H}_{\text{int}}$~~  oder  ~~$\mathcal{H}_V$~~  nicht leer **do**

~~$v \leftarrow \text{find-min}(\mathcal{H}_V)$~~

~~**while**  $v$  links von  $F$  **do**~~

~~$\lfloor \text{delete-min}(\mathcal{H}_V); v \leftarrow \text{find-min}(\mathcal{H}_V)$~~

$l_i \leftarrow$  linkstes Label aus  $\mathcal{H}_{\text{right}}$ ,  ~~$\mathcal{H}_{\text{int}}$~~  und  ~~$\mathcal{H}_V$~~

füge  $l_i$  zur Beschriftung hinzu

$f_{\text{new}} \leftarrow$  rechte Kante von  $\tilde{l}_i$

update  $F$  und  ~~$\mathcal{T}_V$~~  mit  $f_{\text{new}}$

suche mit der Region links von  $f_{\text{new}}$  in  $\mathcal{P}_{\text{left}}$  und  ~~$\mathcal{P}_{\text{right}}$~~  und update

$\mathcal{H}_{\text{right}}$ ,  $\mathcal{P}_{\text{left}}$ ,  ~~$\mathcal{H}_{\text{int}}$~~ ,  $\mathcal{T}_i$ 's und  ~~$\mathcal{P}_{\text{right}}$~~  wie beschrieben

entferne alle Verweise auf  $p_i$  aus den Datenstrukturen

**Aufgabe:** Anpassung auf diskrete Modelle?

- Nur vorgegebene Positionen eines Labels interessant.
- Positionen links der Front und auf der Front implizieren Konflikt.
- $\Rightarrow$  nur Positionen rechts der Front interessant.